

บทที่ 2

วรรณกรรมที่เกี่ยวข้อง

2.1 ความรู้พื้นฐานเกี่ยวกับเรื่องที่วิจัย

วิธีสเปกตรัมการตอบสนอง (Response Spectrum)

การตอบสนองของระบบหลายองศาสอิสระ (Multi Degrees of Freedom) หรือ MDOF ที่เกิดจากคลื่นของเวลา อาจคำนวณได้โดยการแบ่งระบบดังกล่าวออกเป็นอนุกรมของระบบของศาสอิสระเดียว (Single Degree of Freedom) หรือ SDOF และใช้การคำนวณการตอบสนองในโดเมนของเวลา (Time Domain) จากนั้นจึงหาผลรวมของการตอบสนองเพื่อใช้สำหรับระบบ MDOF การวิเคราะห์นี้คือการวิเคราะห์แบบโหนด (Model Analysis) หากสนใจแต่การตอบสนองสูงสุด (ซึ่งใช้ในการออกแบบ) ค่าสูงสุดของหลายๆ โหนดจะถูกคำนวณภายใต้ผลของการสเปกตรัมการตอบสนอง ซึ่งเป็นตัวแทนของคลื่นของเวลา และการรวมค่าสูงสุดจะให้ขึ้นกับการตอบสนองสูงสุดของระบบ MDOF ซึ่งวิธีดังกล่าวจะใช้เฉพาะกับระบบอีเลาสติกเชิงเส้นตรง (Linear Elastic System) เท่านั้น เมื่อจากขั้นตอนดังกล่าวอาศัยหลักการของ Superposition การวิเคราะห์แบบโหนดอาจถือได้ว่าเป็นการวิเคราะห์แบบโดเมนของเวลา แต่อาจมีข้อโต้แย้งได้ว่าเป็นแบบโดเมนของความถี่ (Frequency Domain) ก็ได้

การพัฒนาถึงการวิเคราะห์แบบโหนดสเปกตรัม ต้องใช้สองหลักการ คือหลักการของ Superposition และ Convolution Integral การเลือกสเปกตรัมแผ่นดินไหว และการรวมที่เหมาะสมของโหนดเป็นสิ่งจำเป็นในการวิเคราะห์แบบโหนดสเปกตรัม สำหรับระบบ SDOF อันหนึ่งๆ ซึ่งสามารถพิสูจน์ได้ว่าการเคลื่อนตัว (Displacement) ณ เวลา t สามารถคำนวณได้จากสมการที่ (2.1)

$$m\ddot{u} + c\dot{u} + ku = -m\ddot{u}_g \quad (2.1)$$

ซึ่งสมการนี้ถ้ามีการทราบระหว่างโหนด ที่แสดงความสัมพันธ์ของการสั่นของโครงสร้าง MDOF จะสามารถเขียนให้อยู่ในรูปของเมตริกซ์ สำหรับระบบอีเลาสติกได้ดังในสมการที่ (2.2)

$$\underline{M}\ddot{\underline{x}} + \underline{C}\dot{\underline{x}} + \underline{K}\underline{x} = -\underline{M}\dot{\underline{x}}_g \quad (2.2)$$

โดยการเปลี่ยนพื้นฐาน สมการที่ (2.2) จะให้ผลของการเคลื่อนตัวที่ไม่มีการควบคุมว่า โหนด ซึ่งแต่ละอันจะเป็นตัวแทนของระบบ SDOF ซึ่งสามารถสรุปได้ดังนี้

- a. สมมุติให้เวคเตอร์ของการเคลื่อนตัวสามารถเขียนได้ในรูปของ

$$x = \underline{\Phi} Y(t) \quad (2.3)$$

เมื่อ $\underline{\Phi}$ คือเมตริกซ์โหนด และ $Y(t)$ คือเวคเตอร์ของรูปร่างโหนด เมตริกซ์โหนดเป็นแบบที่ไม่เป็นหนึงเดียว (Non-singular) และเป็นบวก (Positive) ดังนั้นจึงสามารถหาส่วนกลับ (Inverse) ได้ สังเกตว่าคอลัมน์ในเมตริกซ์ $\underline{\Phi}$ ยังไม่ทราบในขั้นตอนนี้

- b. สร้างสูตรของปัญหา Eigenvalue ของระบบ MDOF ดังนี้

$$\underline{K}\underline{\Phi}_i = \omega_i^2 \underline{M}\underline{\Phi}_i \quad (2.4)$$

- c. คำนวณค่า Eigenvalue (หรือความถี่) จำนวน N ค่า และ Eigenvector (หรือรูปร่างโหนดของ การสั่น) จากสมการที่ (2.4) นี่คือการวิเคราะห์ Eigenvalue แบบธรรมดานอกจากนี้อาจใช้ การวิเคราะห์ Ritz Vector ซึ่งสามารถนำมาใช้ได้โดยเฉพาะกับระบบโครงสร้างที่ซับซ้อน ซึ่งจะให้ผลที่เที่ยงตรงเมื่อเทียบกับการคำนวณด้วยการวิเคราะห์ Eigenvalue สำหรับจำนวน โหนดที่เท่ากัน โหนดที่มีความถี่ต่ำสุดคือโหนดพื้นฐาน (Fundamental Mode) ซึ่งความถี่ที่ได้คือความถี่พื้นฐาน (Fundamental Frequency) ของการสั่น หลังจากทราบถึงความถี่ต่างๆ จะถูกแทนค่าลงในสมการที่ (2.5) ทีละค่า

$$(\underline{K} - \omega^2 \underline{M})\underline{x} = 0 \quad (2.5)$$

ซึ่งสามารถแก้สมการเพื่อหาแอนพริบูตสัมพัทธ์ของการเคลื่อนตัวสำหรับการเปลี่ยนตำแหน่ง ในแต่ละทิศทาง สำหรับโหนดของการสั่นแต่ละโหนด คุณลักษณะที่สำคัญคือ รูปร่างโหนดอยู่ในแนวที่ตั้งฉาก (Orthogonal) กับ เมตริกซ์มวลและเมตริกซ์ความแข็ง

- d. สมมุติความหน่วง (Damping) ที่มีสัดส่วนสัมพันธ์กับโหนด (เช่นความหน่วงทั้งหมดคือ ผลกระทบของความหน่วงของโหนดที่มีส่วนร่วม) ถูกกำหนดโดย

$$\Phi_i^T \underline{C} \Phi_j = 2\omega_i \xi_i \delta_{ij} \quad (2.6)$$

ในโปรแกรมไฟฟ์ในที่อีลีเมนต์ส่วนใหญ่ สัดส่วนของเมตริกซ์ความหน่วงและเมตริกซ์ความแข็ง ความหน่วง ได้ถูกใช้โดยเทคนิคที่มีประสิทธิภาพในการประกอบเมตริกซ์ความหน่วง โดยไม่ได้อ้างถึงจากชิ้นส่วนโครงสร้าง ถ้าพิจารณาเพียงแค่ 2 โหนด ซึ่งถูกเรียกว่า ‘Rayleigh Damping’ และถูกกำหนดโดยสมการ

$$\underline{C} = \alpha \underline{M} + \beta \underline{K} \quad (2.7)$$

พารามิเตอร์ทั้งสองตัว α และ β ถูกสร้างจากตัวแปรที่ทราบค่าสองตัวของ ξ_i ซึ่ง อัตราส่วนความหน่วง ξ_i สามารถคำนวณได้ไปพร้อมๆ กันดังแสดงด้านล่าง

$$\xi_i = \frac{\alpha + \beta \omega_j^2}{2\omega_j} \quad (2.8)$$

- ซึ่งข้อสมมุติฐานข้างบนนี้เป็นสิ่งจำเป็นที่จะเป็น สำหรับทางเลือกสำหรับการแก้สมการ (ที่แยกออกในแต่ละโหนด) ของการเคลื่อนตัว เนื่องจากรูปร่างของโหนดที่ตั้งหากับ \underline{M} และ \underline{K} ซึ่งเมตริกซ์ทั้งสองตัวที่ตั้งหากับเมตริกซ์ความหน่วงแบบ Rayleigh ด้วย
- e. สร้างสมการการเคลื่อนตัวในเทอมของพิกัดที่ตั้งหากัน หรือพิกัดที่ทำให้เป็นแบบทั่วไป (Generalized) Y_i

$$Y_i + 2\xi_i \omega_i Y_i + \omega_i^2 Y_i = -\Gamma_i x_g \quad (2.9)$$

เมื่อความถี่เชิงมุม ω_i สำหรับโหนดที่ i คือ

$$\omega_i = \sqrt{\frac{\hat{K}_i}{\hat{M}_i}} \quad (2.10)$$

ในเมื่อ \hat{M}_i แสดงถึงมวลในรูปแบบทั่วไปดังนี้

$$\hat{M}_i = \Phi_i^T \underline{M} \Phi_i \quad (2.11)$$

และ \hat{K}_i แสดงถึง ความแข็งในรูปแบบทั่วไปดังนี้

$$\hat{K}_i = \Phi_i^T \underline{K} \Phi_i \quad (2.12)$$

แฟคเตอร์ Γ_i ถูกเรียกว่า ‘แฟคเตอร์ของการมีส่วนร่วมของโหนด’ และให้การวัดค่าริซึ่งโหนดที่ i มีส่วนร่วมในการตอบสนองเชิงพลศาสตร์ทั้งหมด ตามแฟคเตอร์ข้างล่างนี้

$$\Gamma_i = \frac{L_i}{\hat{M}_i} \quad (2.13)$$

เมื่อ

$$L_i = \Phi_i^T \underline{M} I \quad (2.14)$$

- f. คำนวณคำตอบของระบบซึ่งมีจำนวนสมการเท่ากับ N สมการ ในพิกัดปกติดังในสมการที่ (2.13) การตอบสนองของโหนดที่ i ของการสั่น ณ เวลาใดๆ สามารถเขียนอยู่ในรูปของ Convolution Integral (หรือ Duhamel Integral)

$$Y_i(t) = \frac{L_i}{\hat{M}_i \omega_i} A_i(t) \quad (2.15)$$

เมื่อ $A_i(t)$ ได้มาจากการคำตอบของสมการที่ (2.1) หรือสมการการเคลื่อนตัว ซึ่งสามารถแก้ได้ด้วยวิธีเชิงตัวเลข (Numerical Method) ในโอดเมนของเวลาหรือความถี่ วิธีการนี้เรียกว่า ‘วิธีอินทิเกรชันตรง’ (Direct Integration Method) และ ‘การแปลงฟูเรียร์อย่างเร็ว’ (Fast Fourier Transform) ตามลำดับ

- g. คำนวณแรงคืนรูปอีเลสติกจาก

$$R = \underline{K} \Phi Y(t) = \sum_{i=1}^N \frac{L_i}{\hat{M}_i} A_i(t) \underline{M} \Phi_i \quad (2.16)$$

- h. คำนวณแรงเฉือนที่ฐานที่เกิดจากการสั่นสะเทือน V_B ซึ่งสามารถหาได้จากผลรวมของแรงแผ่นดินไหวประสีทิชผลลดอคความสูงของโครงสร้าง

$$V_B = \sum_{i=1}^N \frac{L_i^2}{\hat{M}_i} A_i(t) \quad (2.17)$$

- i. คำนวณการเปลี่ยนรูปสัมพัทธ์ซึ่งเปรียบเทียบกับฐานของโครงสร้างที่สัมพันธ์กับโหนดที่ i ของการสั่น

$$x_i = \underline{\Phi} Y_i(t) = \frac{L_i}{\hat{M}_i} A_i(t) \Phi_i \quad (2.18)$$

สมการที่ (2.8) สร้างความหน่วงที่ไม่เข้มกับความถี่ ขั้นตอน (d) ที่ใช้คำนวณ ξ_i มักจะมีการดูดซับมากเกินไป (Over-damp) ในโหนดสูงๆ ของการสั่น ซึ่งจะมีผลต่อความเชื่อมั่นของโครงสร้างอาคารสูงหรือระบบที่อยู่ใกล้กับการเคลื่อนตัวของพื้นดินเนื่องจากแผ่นดินไหว ความหน่วงตามสัดส่วนซึ่งสามารถออมได้กว่าเป็นการรับรู้ของโครงสร้างของไอลที่สมมุติซึ่งมีความหนนีดเป็นอนันต์สำหรับการเคลื่อนตัวของโครงสร้างแบบแข็งท่อ (Rigid-body Motion) ($\omega = 0$) สำหรับโหนดมีความถี่สูงกว่า ของไอลจะดูดซับการเคลื่อนตัวสัมพัทธ์ของ MDOF ซึ่งมีผลมากขึ้นเมื่อ ω เพิ่มขึ้น การสั่นความถี่สูงแบบไม่เป็นจริงหรือมีรูจักกันว่า ‘สัญญาณรบกวน’ นั้นถูกสร้างขึ้นโดยการจำลองของการตอบสนองเชิงตัวเลขซึ่งถูกดูดซับด้วยเทอม βK

เทอม L_i^2 / \hat{M}_i ในสมการที่ (2.17) ถูกกำหนดให้เป็น ‘มวลประติทิพของโหนด’ ปริมาณนี้โดยปกติจะหายไปในโหนดที่สูงขึ้น ด้วยอย่างเช่นในอาคารรับแรงเฉือนโดยทั่วไปจะมีโหนดพื้นฐานคิดเป็นมวลได้มากถึง 85-90% ของมวลทั้งหมด ดังนั้นการรวมการตอบสนองสำหรับ 2 ถึง 3 โหนดแรกจะสามารถใช้เป็นตัวแทนสำหรับระบบ MDOF ได้ ในอิกแห่งหนึ่งสะพานที่จะถูกและมีช่วงสแปนยาวมักจะตอบสนองในโหนดที่เป็นสิบหรือแม้กระถั่งเป็นร้อย ซึ่งในกรณีทั้งหมดนี้ต้องการโหนดที่เพียงพอสำหรับใช้เป็นตัวแทนของ MDOF ผลกระทบของมวลโหนดคือผลกระทบของมวลของทั้งโครงสร้าง เช่น

$$\sum_{i=1}^N \frac{L_i^2}{\hat{M}_i} = \sum_{i=1}^N M_i \quad (2.19)$$

สมการที่ (2.16) และ (2.18) แสดงถึงประวัติทั้งหมดของการกระทำและการเปลี่ยนรูปของโครงสร้าง MDOF ระบบที่รวมกันเป็นก้อน (Lump) ที่มีองศาอิสระ N จะมีจำนวนรูปร่างโหนดเท่ากับ N ดังนั้นจึงเป็นไปได้ที่จะอธิบายการเปลี่ยนรูปของโครงสร้างในเทอมของแอนพลิชุดของรูปร่างที่ใช้พิกัดทั่วไป $Y(t)$ ดังแสดงในสมการที่ (2.15)

ในการวิเคราะห์แรงแผ่นดินไหว การหาค่าการเปลี่ยนรูปสูงสุดและแรงภายใน แทนที่จะเป็นประวัติทั้งหมด มักจะเป็นจุดประสงค์หลัก โดยเฉพาะในเรื่องของการออกแบบ การตอบสนองสูงสุดสามารถหาได้สำหรับในแต่ละ โหนด แล้วนำมารวบกันโดยใช้วิธีการทางสถิติ การวิเคราะห์สเปกตรัม โหนด (หรือ สเปคตรัม หรือ สเปคตรัมการตอบสนอง) ประมาณค่าสูงสุดของการตอบสนองของโครงสร้างโดยการรวมค่าสูงสุดของแต่ละ โหนด ซึ่งมีขั้นตอนสรุปไว้ดังต่อไปนี้

- a. คำนวณ โหนดและความถี่ของ MDOF โดยขั้นตอน (a) ถึง (d) จากขั้นตอนการวิเคราะห์โหนดที่ให้ไว้ด้านบน
- b. คำนวณมวลทั่วไป (Generalized Mass) \hat{M}_i และแฟคเตอร์การมีส่วนร่วมของโหนด Γ_i จากสมการ (2.10) และ (2.12) ตามลำดับ
- c. เลือกสเปคตรัมของการเร่ง
- d. คำนวณความเร่งของสเปคตรัม S_{ai} ซึ่งสัมพันธ์กับค่า T_i ที่นำมาสำหรับแต่ละ โหนด ของการสั่น
- e. คำนวณแรงเนื้อเยื่อสูงสุดของแต่ละ โหนด เวคเตอร์ของแรง $F_{\max,i}(t)$ ของ โหนดที่ i ดังนี้

$$F_{\max,i}(t) = \underline{M} \Phi_i \frac{L_i}{\Phi_i^T \underline{M} \Phi_i} S_{ai} \quad (2.20)$$

- f. คำนวณค่าสูงสุดของพารามิเตอร์ของการตอบสนอง เช่น การกระทำ (โนเมนต์, แรงเฉือน, แรงตามแนวแกน, แรงบิด หรืออื่นๆ) และการเปลี่ยนรูป (การเคลื่อนตัวและมุมหมุน) ปริมาณของการตอบสนองสามารถหาได้จากการวิเคราะห์สติติกาสตร์
- g. รวมปริมาณซึ่งหาในขั้นตอน (f) ของแต่ละ โหนดเพื่อการหาพารามิเตอร์ตอบสนองรวม

ต้องมีการตัดสินใจสำหรับการเลือกจำนวน โหนดที่จะนำมารวมและวิธีการรวม การเลือกจำนวน โหนดที่นำมารวมหมายถึงความเที่ยงตรงและเวลาที่สูญเสียในขั้นตอน ในกรณีส่วนใหญ่ในแต่ละของโครงสร้าง 2 ถึง 3 โหนดก็เพียงพอ อย่างที่ได้กล่าวไว้แล้ว จุดประสงค์คือต้องการพิจารณาอย่างน้อย 85-90% ของมวลทั้งหมด ซึ่งสามารถทำได้ในโครงสร้างทั่วไปอย่างค่อนข้างง่าย ในกรณี

พิเศษ เช่น สภาพนิเวศที่ช่วงบาน พื้นที่จะเข้าถึงขีดจำกัด 85-90% อาจจำต้องการการรวมของเป็นสินค้าเป็นร้อยโภมด

สูตรการประมาณหาผลลัพธ์สำหรับ Superposition อาจถูกใช้ในการวิเคราะห์สเปกตรัม วิธีที่ใช้กันโดยทั่วไปมากที่สุดคือ รากที่สองของผลรวมของกำลังสอง หรือ Square Root of Sum of Squares (SRSS) และ การรวมสมการ 2 ชั้นสมบูรณ์แบบหรือ Complete Quadratic Combination (CQC) ขีดจำกัดนี้ที่ปลอดภัยอย่างมีเหตุผลของพารามิเตอร์การตอบสนองโดยรวมได้ถูกนำมาโดย การสมมุติว่า การวัดของการตอบสนองในโภมดที่ต่างกันไม่สัมพันธ์กัน สำหรับโครงสร้างสามมิติที่ มีความของการสั่นจำนานมากที่คล้ายกัน ข้อสมมุติฐานนี้ไม่สามารถใช้ได้

ในวิธี SRSS ค่าพารามิเตอร์รวมของการตอบสนอง E ได้ถูกกำหนดโดย

$$E = \sqrt{\sum_{i=1}^N E_i^2} \quad (2.21)$$

ถ้าความแตกต่างของสองความถี่โภมดไม่เกิน 10% SRSS อาจนำไปสู่การประมาณค่าที่ต่ำเกินไปของการตอบสนองของโครงสร้าง แม้ว่าวิธีการรวมแบบ SRSS จะประกันความปลอดภัยของขีดจำกัดนี้ของการตอบสนองโครงสร้างในแต่ของปริมาณโดยรวมสำหรับกรณีส่วนใหญ่อย่างที่ได้กล่าวไว้แล้ว ในบางกรณีพารามิเตอร์ของการตอบสนองเชิงย่ออาจจะไม่ใช่ขีดจำกัดนี้ที่ปลอดภัย เนื่องจากผลกระทบของโภมดสูงๆ ที่มีต่อปริมาณของส่วนย่ออย่างเช่นการเปลี่ยนแปลงของโภมดพื้นฐาน หรือโภมดความคุณลักษณะทั่วไปทั้งหมด

เมื่อโภมดต่างๆ อยู่ใกล้กัน วิธีการรวมซึ่งต้องอาศัยผลรวมของผลกระทบระหว่างโภมด เป็นสิ่งจำเป็น เนื่องจากโภมดที่อยู่ใกล้กันมีส่วนเกี่ยวข้องกันบางส่วน วิธีการนี้อาจนำไปใช้ได้สำหรับทุกๆ โครงสร้าง เมื่อความสัมพันธ์ระหว่างโภมดมีต่ำหรือไม่มี เทอมระหว่างอาจมีค่าน้อย หรือเป็นศูนย์ CQC สามารถอธิบายได้ดังนี้

$$E = \sqrt{\sum_{i=1}^N \sum_{j=1}^N E_i E_j \rho_{ij}} \quad (2.21)$$

เมื่อ ρ_{ij} คือสัมประสิทธิ์ข้ามโภมด สัมประสิทธิ์นี้มักถูกอธิบายในรูปของฟังก์ชันของความถี่โภมด และคุณลักษณะของความหน่วง สำหรับความหน่วงโภมดที่เท่ากัน เช่น $\xi_i = \xi_j = \xi$ เป็นดังนี้

$$\rho_{ij} = \frac{8\xi^2(1+r)r^{3/2}}{(1+r^2)^2 + 4\xi^2 r(1+r)^2} \quad (2.22)$$

เมื่อ $r = \omega_j/\omega_i$ สัมประสิทธิ์ ρ_{ij} แปรเปลี่ยนอยู่ระหว่าง 0 และ 1 สำหรับ $i = j$ ถ้าความถี่ใหม่ของ MDOF แยกกันอย่างดี เทอมที่อยู่นอกแนวแข็งจะมีแนวโน้มที่จะเป็นศูนย์ และวิธี CQC จะเข้าหาวิธี SRSS

การประมาณค่าพารามิเตอร์การตอบสนองรวม E ด้วยกฎของ CQC อาจมากกว่าหรือน้อยกว่าการประมาณด้วยกฎของ SRSS

2.2 ทฤษฎีที่รองรับ หรือกรอบความคิดทางทฤษฎี

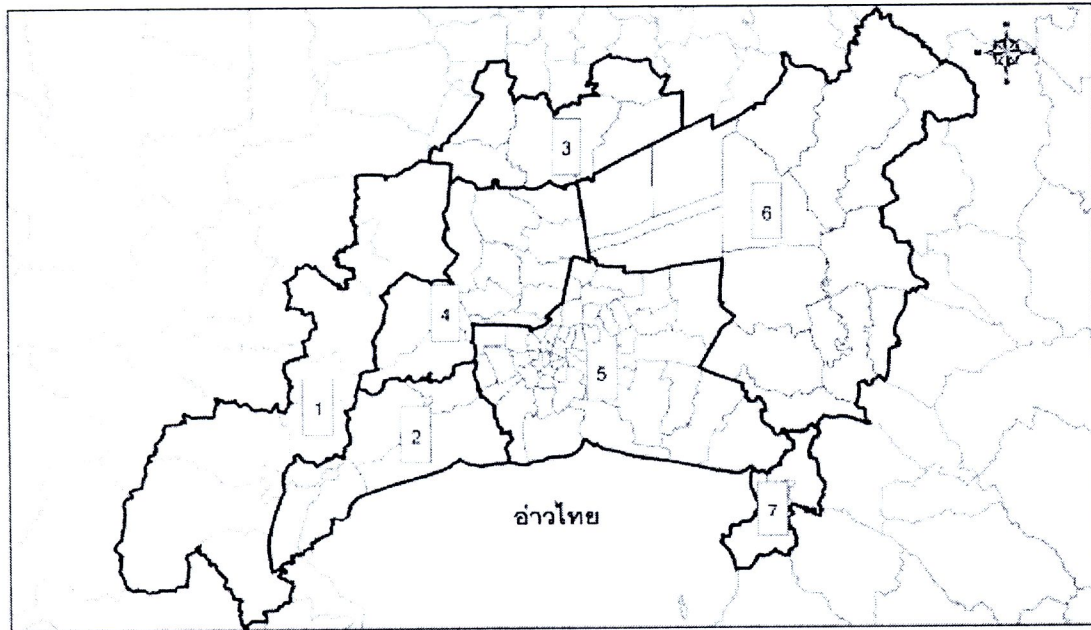
งานวิจัยนี้เกี่ยวเนื่องกับมาตรฐานออกแบบอาคาร 3 ฉบับ คือ

1. มาตรฐานการออกแบบอาคารต้านทานการสั่นสะเทือนของแผ่นดินไหว นยพ. 1302-52
2. มาตรฐานประกอบการออกแบบอาคารต้านทานการสั่นสะเทือนของแผ่นดินไหว (ปรับปรุงครั้งที่ 1) นยพ. 1301-54
3. มาตรฐานสำหรับออกแบบอาคารเพื่อต้านแรงลม (2550) นยพ. 1311-50

โดยเลือกมาเฉพาะส่วนที่เกี่ยวข้องและกล่าวไว้โดยย่อ ดังนี้

2.2.1 มาตรฐานการออกแบบอาคารต้านทานการสั่นสะเทือนของแผ่นดินไหว นยพ. 1302-52

สำหรับในประเทศไทยกรมโยธาธิการและผังเมือง (2552) ได้ออกมาตรฐานการออกแบบอาคารต้านทานการสั่นสะเทือนของแผ่นดินไหว นยพ. 1302 ซึ่งได้ข้อกำหนดเกี่ยวกับการวิเคราะห์อาคารด้วยวิธีสเปคตรัมการตอบสนอง (นำมาระดับเฉพาะส่วนกรุงเทพมหานครและปริมณฑล) ดังแสดงในภาพประกอบที่ 2.1 ซึ่งแสดงโซน 1 ถึง 5 และในภาพประกอบที่ 2.2 แสดงการเร่งตอบสนองเชิงสเปคตรัม และได้ออกข้อกำหนดเกี่ยวกับการวิเคราะห์และออกแบบอาคารดังในหัวข้อ 2.2.2.1 ถึง 2.2.2.6 ต่อไปดังนี้

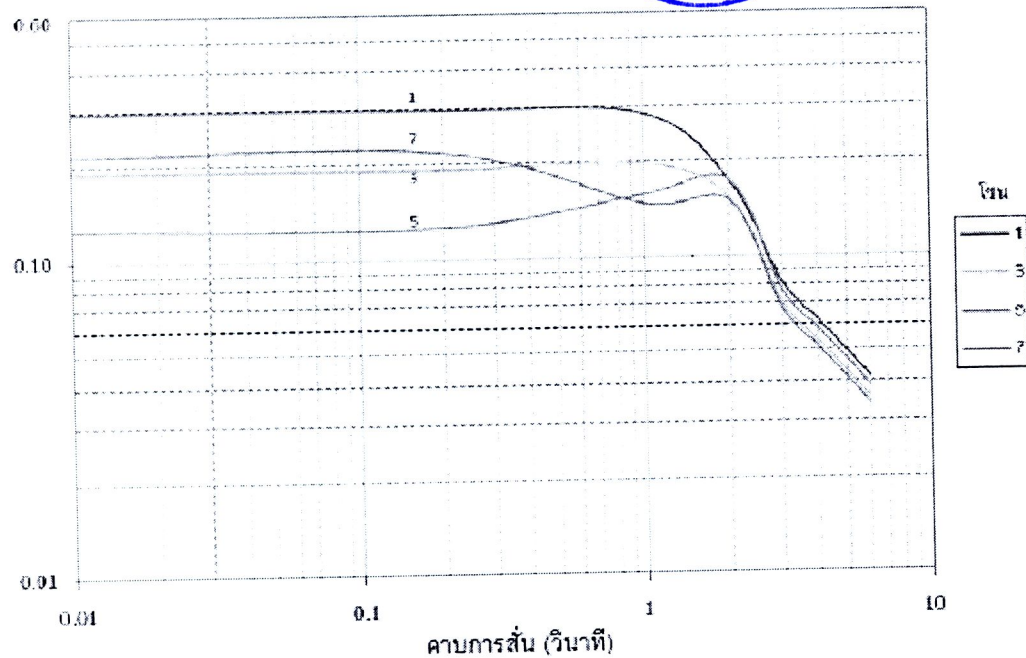


แผนที่แสดงการแบ่งโซนพื้นที่ในกรุงเทพเพื่อการออกแนวฯ อาคารด้านหน้าแผ่นดินไหว

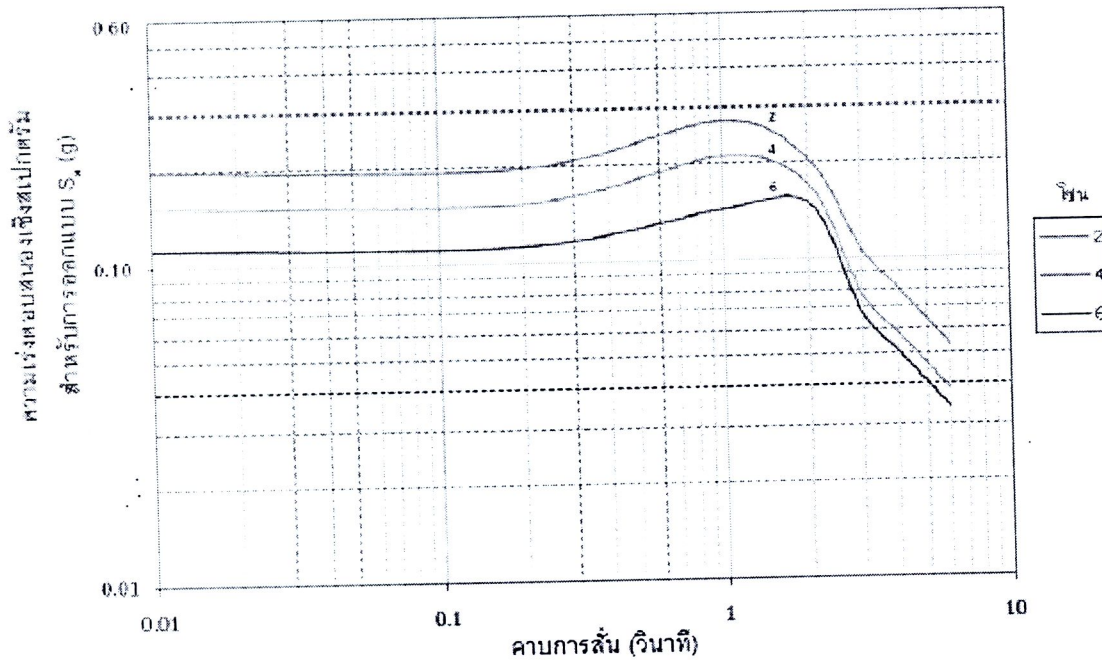
ภาพประกอบที่ 2.1 การแบ่งโซนสำหรับการหาค่าความเร่งตอบสนองเชิงสเปกตรัมสำหรับการออกแบบในเขตกรุงเทพมหานครและปริมณฑล (กรมโยธาธิการและผังเมือง, 2552)



รายงานการทดสอบผลิตภัณฑ์ทางเคมีที่ส่งมาตรวจ



(ก) สำหรับชนิด 1, 3, 5 และ 7



(ข) สำหรับชนิด 2, 4 และ 6

ภาพประกอบที่ 2.2 การเร่งตอบสนองเชิงสเปคตรัมสำหรับการออกแบบด้วยวิธีเชิงพลศาสตร์ใน
เขตกรุ๊ปเพมานครและปริมณฑล (กรมโยธาธิการและผังเมือง, 2552)

สำนักงานคณะกรรมการวิจัยแห่งชาติ

ห้องสมุดงานวิจัย

วันที่..... 20.7.2555

เลขทะเบียน..... 250164

เลขเรียกหนังสือ.....

ตารางที่ 2.1 การแบ่งประเภทการออกแบบต้านทานแผ่นดินไหวโดยพิจารณาจากค่า S_{DS}

ค่า S_{DS}	ประเภทการอักแบบต้านทานแผ่นดินไหว		
	ประเภทความสำคัญ I หรือ II	ประเภทความสำคัญ III	ประเภทความสำคัญ IV
$S_{DS} < 0.167$	ก (ไม่ต้องออกแบบ)	ก (ไม่ต้องออกแบบ)	ก (ไม่ต้องออกแบบ)
$0.167 \leq S_{DS} < 0.33$	ข	ข	ค
$0.33 \leq S_{DS} < 0.50$	ค	ค	ง
$0.50 \leq S_{DS}$	ง	ง	ง

ตารางที่ 2.2 การแบ่งประเภทการอักแบบต้านทานแผ่นดินไหวโดยพิจารณาจากค่า S_{DI}

ค่า S_{DI}	ประเภทการอักแบบต้านทานแผ่นดินไหว		
	ประเภทความสำคัญ I หรือ II	ประเภทความสำคัญ III	ประเภทความสำคัญ IV
$S_{DI} < 0.067$	ก (ไม่ต้องออกแบบ)	ก (ไม่ต้องออกแบบ)	ก (ไม่ต้องออกแบบ)
$0.067 \leq S_{DI} < 0.133$	ข	ข	ค
$0.133 \leq S_{DI} < 0.20$	ค	ค	ง
$0.20 \leq S_{DI}$	ง	ง	ง

2.2.1.1 จำนวนของโหนดที่จำเป็นต้องพิจารณา

ในการวิเคราะห์จะต้องพิจารณาร่วมการตอบสนองโดยใช้จำนวนโหนดให้อย่างเพียงพอ ที่ทำให้ผลรวมของมวลประสีทิชผล ไม่น้อยกว่าร้อยละ 90 ของมวลทั้งหมดของอาคาร โดยพิจารณาเต็มทิศทางของแผ่นดินไหวในแนวราบที่ตั้งฉากกัน

2.2.1.2 การคำนวณค่าการตอบสนองของแต่ละโหนด

การคำนวณค่าการตอบสนองเช่น การเคลื่อนตัวสัมพัทธ์ระหว่างชั้น แรงปฎิกิริยาที่ฐานรองรับ และแรงภายในของชั้นส่วน ในแต่ละโหนดให้คำนวณโดยใช้คุณสมบัติเชิงพลศาสตร์ ของแต่ละโหนดและใช้สเปกตรัมการตอบสนองที่กำหนด (เช่นในภาพประกอบที่ 2.2) ซึ่งเป็นการตอบสนองสูงสุดของระบบยึดหยุ่นเชิงเส้นตรง

ค่าแรงภายในที่ใช้สำหรับออกแบบกำลังความแข็งแรงของชิ้นส่วนโครงสร้าง ให้ใช้ค่าการตอบสนองสูงสุดของระบบบีดหยุ่นเชิงเส้นตรงคูณด้วยอัตราส่วน $\frac{I}{R}$ เมื่อ R คือ ตัวประกอบปรับผลตอบสนองตามตารางที่ 2.3 และ I คือ ตัวประกอบความสำคัญของอาคารตามตารางที่ 2.4 ตารางที่ 2.3 ค่าตัวประกอบปรับผลตอบสนอง R , ตัวกำลังส่วนเกิน Ω_0 และตัวประกอบขยายค่าการโถงตัว C_d (กรมโยธาธิการและผังเมือง, 2552)

ระบบโครงสร้าง	ระบบค้านแรงด้านข้าง	R	Ω_0	C_d	การใช้งาน		
					ประเภทการ ออกแบบรับแรง แผ่นดินไหว		
					✓	✗	✗
1. ระบบกำแพงรับน้ำหนักบรรทุก แนวตั้ง (Bearing Wall System)	กำแพงรับแรงเฉือนแบบธรรมด้า (Ordinary Reinforced Concrete Shear Wall)	4	2.5	4	✓	✓	✗
	กำแพงรับแรงเฉือนแบบที่มีการให้รายละเอียดพิเศษ (Special Reinforced Concrete Shear Wall)	5	2.5	5	✓	✓	✓
	กำแพงรับแรงเฉือนหล่อสำเร็จแบบธรรมด้า (Ordinary Precast Shear Wall)	3	2.5	3	✓	✗	✗
	กำแพงรับแรงเฉือนหล่อสำเร็จแบบที่มีการให้รายละเอียด ความหนืดขวางปานกลาง (Intermediate Precast Shear Wall)	4	2.5	4	✓	✓	✗
2. ระบบโครงสร้างอาคาร (Building Frame System)	โครงแกงແเนหเล็กแบบเฉ้องศูนย์ที่ใช้จุดอ่อนแบบรับแรง ตัดได้ (Steel Eccentrically Braced Frame with Moment- Resisting Connections)	8	2	4	✓	✓	✓
	โครงแกงແเนหเล็กแบบเฉ้องศูนย์ที่ใช้จุดอ่อนแบบรับแรง เฉือน (Steel Eccentrically Braced Frame with Non-Moment- Resisting Connections)	7	2	4	✓	✓	✓
	โครงแกงແเนหเล็กแบบตรงศูนย์แบบบริรูณ์ พิเศษ (Special Steel Concentric Braced Frame)	6	2	5	✓	✓	✓
	โครงแกงແเนหเล็กแบบตรงศูนย์แบบธรรมด้า (Ordinary Steel Concentric Braced Frame)	3.5	2	3.5	✓	✓	✗
	กำแพงรับแรงเฉือนแบบที่มีการให้รายละเอียดพิเศษ (Special Reinforced Concrete Shear Wall)	6	2.5	5	✓	✓	✓
	กำแพงรับแรงเฉือนแบบธรรมด้า (Ordinary Reinforced Concrete Shear Wall)	5	2.5	4.5	✓	✓	✗
	กำแพงรับแรงเฉือนหล่อสำเร็จแบบธรรมด้า (Ordinary Precast Shear Wall)	4	2.5	4	✓	✗	✗
	กำแพงรับแรงเฉือนหล่อสำเร็จแบบที่มีการให้รายละเอียด ความหนืดขวางปานกลาง (Intermediate Precast Shear Wall)	5	2.5	4.5	✓	✓	✗

หมายเหตุ: ✓ = ใช้ได้ X = ห้ามใช้

ตารางที่ 2.3 (ต่อ)

ระบบโครงสร้าง	ระบบต้านแรงด้านข้าง	R	Ω_0	C_d	การใช้งาน		
					ประเภทการ ออกแบบรับ แรง แผ่นดินไหว		
					ช	ค	ง
3. ระบบโครงสร้างต้านแรงดัด (Moment Resisting Frame)	โครงต้านแรงดัดเหล็กที่มีความเหนียว (Ductile/Special Steel Moment-Resisting Frame)	8	3	5.5	✓	✓	✓
	โครงถักต้านแรงดัดที่มีการให้รายละเอียดความเหนียวเป็นพิเศษ (Special Truss Moment Frame)	7	3	5.5	✓	✓	✓
	โครงต้านแรงดัดเหล็กที่มีความเหนียวจำกัด (Ductile Steel Moment Resisting Frame with Limited Ductility)	4.5	3	4	✓	✓	x
	โครงต้านแรงดัดเหล็กธรรมดา (Ordinary Steel Moment Resisting Frame)	3.5	3	3	✓	✓	x
	โครงต้านแรงดัดคอนกรีตเสริมเหล็กที่มีความเหนียว (Ductile/Special Reinforced Concrete Moment Resisting Frame)	8	3	5.5	✓	✓	✓
	โครงต้านแรงดัดคอนกรีตเสริมเหล็กที่มีความเหนียวจำกัด (Ductile RC Moment-Resisting Frame with Limited Ductility)	5	3	4.5	✓	✓	x
4. ระบบโครงสร้างแบบผสมที่มีโครงต้านแรงดัดที่มีความเหนียว และสามารถต้านทาน แรงด้านข้าง ไม่น้อยกว่าร้อยละ 25 ของแรงที่กระทำกับอาคาร (Dual System with Ductile/Special Moment Resisting Frame)	ร่วมกับโครงเหล็กแบบตรงสูญญ์แบบพิเศษ (Special Steel Concentrically Braced Frame)	7	2.5	5.5	✓	✓	✓
	ร่วมกับโครงเหล็กซึ่งรั้งขึ้งสูญญ์ (Steel Eccentrically Braced Frame)	8	2.5	4	✓	✓	✓
	ร่วมกับกำแพงรับแรงเฉือนแบบที่มีการให้รายละเอียดพิเศษ (Special Reinforced Concrete Shear Wall)	7	2.5	5.5	✓	✓	✓
	ร่วมกับกำแพงรับแรงเฉือนแบบธรรมด้า (Ordinary Reinforced Concrete Shear Wall)	6	2.5	5	✓	✓	x

หมายเหตุ: ✓ = ใช้ได้ X = ห้ามใช้

ตารางที่ 2.3 (ต่อ)

ระบบโครงสร้าง	ระบบด้านแรงด้านข้าง	R	Ω_0	C_d	การใช้งาน		
					ประ掏การ ออกแบบรับ แรง แผ่นดินไหว		
					ข	ค	ง
5. ระบบโครงสร้างแบบผสมที่มีโครงสร้างด้านแรงดัดที่มีความหนืดไขว้จำกัดที่สามารถด้านทานแรงด้านข้างไม่น้อยกว่าร้อยละ 25 ของแรงที่กระทำกับอาคารทั้งหมด (Dual System with Moment Resisting Frame with Limited Ductility/ Dual System with Intermediate Moment Resisting Frame)	ร่วมกับโครงสร้างแนวเหล็กแบบทรงศูนย์เบนพิเศษ (Special Steel Concentrically Braced Frame)	6	2.5	5	✓	✓	x
	ร่วมกับกำแพงรับแรงเฉือนแบบที่มีการให้รายละเอียดพิเศษ (Special Reinforced Concrete Shear Wall)	6.5	2.5	5	✓	✓	✓
	ร่วมกับกำแพงรับแรงเฉือนแบบธรรมด้า (Ordinary Reinforced Concrete Shear Wall)	5.5	2.5	4.5	✓	✓	x
6. ระบบปฏิสัมพันธ์ (Shear Wall Frame System)	ระบบปฏิสัมพันธ์ระหว่างกำแพงรับแรงเฉือน โครงสร้างด้านแรงดัดแบบธรรมด้าที่ไม่มีการให้รายละเอียดความหนืดไขว้ (Shear Wall Frame Interactive System with Ordinary Reinforced Concrete Moment Frame Ordinary Concrete Shear Wall)	4.5	2.5	4	✓	x	x
7. ระบบโครงสร้างเหล็กที่ไม่มีการให้รายละเอียดสำหรับรับแรงแผ่นดินไหว (Steel Systems Not Specifically Detailed for Seismic Resistance)	ระบบโครงสร้างเหล็กที่ไม่มีการให้รายละเอียดสำหรับรับแรงแผ่นดินไหว	3	3	3	✓	✓	x

หมายเหตุ: ✓ = ใช้ได้ x = ห้ามใช้

**ตารางที่ 2.4 การจำแนกประเภทของอาคาร ตามความสำคัญต่อสาธารณชนและตัวประกอบ
ความสำคัญของแรงแผ่นดินไหว I (กรมโยธาธิการและผังเมือง, 2552)**

ประเภทของอาคาร	ประเภทความสำคัญ	ตัวประกอบความสำคัญ
อาคารและส่วนโครงสร้างอื่นที่มีปัจจัยเสี่ยงอันตรายต่อชีวิตมนุษย์ค่อนข้าง น้อยเมื่อเกิดการพังทลายของอาคาร หรือส่วนโครงสร้างนั้นๆ เช่น -อาคารที่เกี่ยวข้องกับการเกษตร -อาคารชั่วคราว -อาคารเก็บของเล็กๆ ซึ่งไม่มีความสำคัญ	I (น้อย)	1.0
อาคารและส่วนโครงสร้างอื่นที่ไม่จัดอยู่ในอาคารประเภทความสำคัญ น้อยมาก และสูงมาก	II (ปกติ)	1.0
อาคารและส่วนโครงสร้างอื่นที่หากเกิดการพังทลาย จะเป็นอันตรายต่อชีวิต มนุษย์และสาธารณชนอย่างมาก เช่น -อาคารที่เป็นที่ชุมนุมในพื้นที่หนึ่งๆ มากกว่า 300 คน -โรงพยาบาลหรือมัธยมศึกษาที่มีความจุมากกว่า 250 คน -มหาวิทยาลัยหรือวิทยาลัย ที่มีความจุมากกว่า 500 คน -สถานรักษาพยาบาลที่มีความจุคนไขมากกว่า 50 คน แต่ไม่สามารถทำ การรักษากรณีฉุกเฉินได้ -เรือนจำและสถานกักกันนักโทษ	III (มาก)	1.25
อาคารและส่วนโครงสร้างที่มีความจำเป็นต่อความเป็นอยู่ของสาธารณชนเป็น อย่างมาก หรือ อาคารที่จำเป็นต่อการบรรเทากัยหลังเกิดเหตุเป็นอย่างมาก เช่น -โรงพยาบาลที่สามารถทำการรักษากรณีฉุกเฉินได้ -สถานีตำรวจน้ำ สถานีดับเพลิง และ โรงพยาบาลต่างๆ -โรงพยาบาลที่สามารถดำเนินการดับเพลิง -อาคารศูนย์สื่อสาร -อาคารศูนย์บรรเทาสาธารณภัย -ท่าอากาศยาน ศูนย์บังคับการบิน และ โรงพยาบาลที่ต้องใช้เมื่อ เกิดกรณีฉุกเฉิน -อาคารศูนย์บัญชาการแห่งชาติ	IV (สูงมาก)	1.5
อาคารหรือส่วนโครงสร้างในส่วนของการผลิต การจัดการ การจัดเก็บ หรือ การใช้สารพิษ เช่น เชื้อเพลิง หรือสารเคมี อันก่อให้เกิดการระเบิดขึ้นได้		

การเคลื่อนตัวและการเคลื่อนตัวสัมพัทธ์ระหว่างชั้น คือการเคลื่อนตัวและการเคลื่อนตัวสัมพัทธ์ระหว่างชั้นภายในได้แรงที่ใช้ออกแบบกำลังความแข็งแรงของชั้นส่วนโครงสร้าง (คุณด้วย $\frac{I}{R}$ แล้ว) คุณด้วยค่า $\frac{C_d}{I}$ (ค่า C_d ตามตารางที่ 2-1) เพื่อพิจารณาผลของการตอบสนองแบบอินเอลัสติก ค่าการเคลื่อนตัวสัมพัทธ์ระหว่างชั้นว่าจะเกิดขึ้นจริง เป็นค่าที่ใช้ในการตรวจสอบ

2.2.1.3 ประเภทการออกแบบต้านทานแผ่นดินไหว

ได้กำหนดให้มีการแบ่งประเภทการออกแบบต้านทานแผ่นดินไหวออกเป็น 4 ประเภท คือประเภท ก ข ค และ ง โดยเริ่มจากระดับที่ไม่จำเป็นต้องออกแบบต้านทานแผ่นดินไหว ออกแบบต้านทานแผ่นดินไหวจะพิจารณาจากประเภทความสำคัญของอาคาร (ตารางที่ 2.4) และความรุนแรงของแผ่นดินไหว ณ ที่ตั้งอาคาร ซึ่งแสดงโดยค่า S_{DS} และ S_{DI} โดยใช้เกณฑ์ที่กำหนดไว้ในตารางที่ 2.1 และ 2.2

สำหรับพื้นที่ในแอ่งกรุงเทพ ค่า S_{DS} และ S_{DI} มีค่าเท่ากับความเร่งตอบสนองเชิงสเปกตรัมสำหรับการออกแบบ (S_a) ที่คาบการสั่น 0.2 วินาที และ 1.0 วินาที ตามลำดับ ดังแสดงในภาพประกอบที่ 2.2

ในกรณีที่ประเภทการออกแบบต้านทานแผ่นดินไหวที่กำหนดตามเกณฑ์ในตารางที่ 2.1 แตกต่างจากที่กำหนดตามเกณฑ์ในตารางที่ 2.2 ให้ยึดถือประเภทการออกแบบต้านทานแผ่นดินไหวที่รุนแรงกว่า

ในกรณีที่คาบการสั่นพื้นฐานของอาคาร (T) ในทั้งสองทิศทางที่ตั้งฉากกันที่คำนวณโดยใช้ $T=0.02H$ (สำหรับอาคาร โครงสร้างคอนกรีตเสริมเหล็ก) หรือ $T=0.03H$ (สำหรับอาคาร โครงสร้างเหล็ก) มีค่าน้อยกว่า $0.8T$ โดยที่ T อนุญาตให้กำหนดประเภทการออกแบบต้านทานแผ่นดินไหวโดยใช้เกณฑ์ที่ในตารางที่ 2.2 เท่านั้น

2.2.1.4 การรวมค่าการตอบสนองจากหลายโหนด

ค่าการตอบสนองสูงสุดของโครงสร้าง คำนวณได้จากการรวมค่าการตอบสนองจากหลายโหนดเข้าด้วยกัน โดยใช้วิธีรวมที่เหมาะสม เช่น SRSS หรือ CQC ซึ่งโดยทั่วไปให้ใช้วิธี SRSS ยกเว้นเมื่อโครงสร้างมีคาบการสั่นของสองโหนดมีค่าใกล้เคียงกัน ถ้าอัตราส่วนระหว่างคานธรรมชาติของการสั่น ไฟวของสองโหนดมีค่าระหว่าง 0.67 ถึง 1.5 ต้องใช้วิธี CQC

2.2.1.6 การปรับค่าการตอบสนองเพื่อใช้ในการออกแบบ

แรงที่ใช้ในการออกแบบจากวิธีพลศาสตร์ ไม่ควรต่างจากการออกแบบด้วยวิธีแรงสถิต เทียบเท่ากันเกินไป ดังนั้นจึงให้คำนวณแรงเฉือนที่ฐานด้วยวิธีแรงสถิตเทียบเท่า โดยคำนวณแรงสำหรับแต่ละทิศทางที่ตั้งฉากกันในแนวราบ และใช้ค่าความการสั่นพื้นฐานที่คำนวณได้จากการวิเคราะห์เชิงพลศาสตร์ในแต่ละทิศทาง หากค่าความการสั่นที่คำนวณได้จากการวิเคราะห์เชิงพลศาสตร์ในแต่ละทิศทาง หากค่าความการสั่นที่คำนวณได้จากการวิเคราะห์เชิงพลศาสตร์มีค่ามากกว่า 1.5 เท่าของค่าความการสั่นตามสมการที่ (2.23) ให้ใช้ค่าความการสั่นพื้นฐานของโครงสร้างที่เท่ากัน 1.5 เท่าของค่าความการสั่นตามสมการที่ (2.23) ในทิศทางนั้น ๆ

$$T = 2\pi \sqrt{\frac{\sum_{i=1}^n (w_i \delta_i^2)}{g \sum_{i=1}^n (F_i \delta_i^2)}} \quad (2.23)$$

δ_i คือ การเคลื่อนตัวในแนวราบของจุดศูนย์กลางมวลที่ชั้น i โดยไม่รวมผลของการบิด (m)

F_i คือแรงที่กระทำที่ชั้น i (Newton)

g คือความเร่งเนื่องจากแรงโน้มถ่วงโลก (9.806 m/sec^2)

i คือชั้นของโครงสร้างที่พิจารณา

n คือจำนวนชั้นทั้งหมดของโครงสร้าง

w_i คือหน่วยที่ใช้พิจารณาแผ่นดินไหวของชั้นที่ i (Newton)

ข้อกำหนดดังกล่าวมีไว้เพื่อป้องกันไม่ให้ใช้ค่าแรงเฉือนต่ำเกินไป เพราะโดยมากค่าความการสั่นพื้นฐานของโครงสร้าง ที่คำนวณได้จากการวิเคราะห์เชิงพลศาสตร์จะมากกว่าที่คำนวณได้จากสมการที่ (2.23) เนื่องจากแบบจำลองอาจไม่ได้พิจารณาสติฟเนสในส่วนประกอบย่อยของอาคารครบถ้วน

ถ้าค่าแรงเฉือนที่ฐานจากการวิเคราะห์พลศาสตร์ ซึ่งคำนวณจากการรวมการตอบสนองของวิธีพลศาสตร์โดยคูณด้วยค่า $0.85V$ ทั้งนี้ไม่ต้องคูณปรับค่าการเคลื่อนตัวสัมพัทธ์ระหว่างชั้นที่ได้จากการวิเคราะห์เชิงพลศาสตร์

2.2.1.7 การกระจายแรงเฉือนในแนวราบ

การกระจายแรงเฉือนในแนวราบให้ใช้สมการที่ (2.24) โดยไม่ต้องคูณขยายผลของโมเมนต์บิด โดยบังเอิญ หากได้พิจารณาผลกระแทบทาจากโมเมนต์บิด โดยบังเอิญรวมอยู่ในการวิเคราะห์เชิงพลศาสตร์แล้ว

$$V_x = \sum_{i=x}^n F_i \quad (2.24)$$

เมื่อ F_i คือ แรงกระทำทางด้านข้างเนื่องจากแรงแผ่นดินไหวที่ระดับชั้น i

การพิจารณาโมเมนต์บิด โดยบังเอิญสำหรับการวิเคราะห์เชิงพลศาสตร์ ทำได้โดยการขับจุดศูนย์กลางมวลให้เคลื่อนไปจากเดิมเป็นระยะ 0.05 เท่าของขนาดของอาคารด้านที่ตั้งจากกับทิศทางแผ่นดินไหวที่พิจารณา โดยแยกพิจารณาแต่ละกรณีของการขับไปทั้งสี่ทิศทางที่ตั้งจากกันในแนวราบ โดยกำหนดให้ใช้ค่าที่梧กุตที่สุดจากทุกกรณีในการออกแบบ

2.2.1.6 ผลของ P-Delta

การพิจารณาผลของ P-Delta ให้ใช้ค่าแรงเฉือนที่ฐานสำหรับคำนวณหาแรงเฉือนในแต่ละชั้น และค่าการเคลื่อนตัวสัมพัทธระหว่างชั้น ตามสมการที่ (2.25)

$$\delta_x = \frac{C_d \delta_{xe}}{I} \quad (2.25)$$

เมื่อ

C_d คือ ตัวประกอบขยายค่าการโถงตัว (ตามตารางที่ 2.1)

δ_{xe} คือ ค่าการโถงตัวที่คำนวณจากวิธีวิเคราะห์โครงสร้างสำหรับระบบอีเลสติก (m)

I คือ ตัวประกอบความสำคัญของอาคาร (ตามตารางที่ 2.3)

โดยที่การคำนวณหากค่า δ_{xe} จะต้องพิจารณาชิ้นส่วนหน้าตัดที่แตกร้าวด้วย ทั้งนี้ค่า Δ จะต้องไม่เกินค่า Δ_a ดังแสดงไว้ในตารางที่ 2.5

ตารางที่ 2.5 การเคลื่อนตัวสัมพัทธ์ระหว่างชั้นที่ยอมให้ (Δ_a^1)

ลักษณะโครงสร้าง	ประเภทความสำคัญ (ดูตาราง 2.2)		
	I หรือ II	III	IV
โครงสร้างที่ไม่ใช่ผนังก่ออิฐรับแรงเนื้อแน่นและสูงไม่เกิน 4 ชั้น ซึ่งผนังภายใน ลากกันห้อง ฝ้าเพดาน และผนังภายในนอกถูกออกแบบให้สามารถทนต่อการเคลื่อนตัวสัมพัทธ์ระหว่างชั้นได้มาก	² 0.025h _{sx}	0.020h _{sx}	0.015h _{sx}
โครงสร้างกำแพงก่ออิฐรับแรงเฉือนแบบยื่นจากฐานรองรับ ³	0.010h _{sx}	0.010h _{sx}	0.010h _{sx}
โครงสร้างกำแพงก่ออิฐรับแรงเฉือนแบบอื่น ๆ	0.007h _{sx}	0.007h _{sx}	0.007h _{sx}
โครงสร้างอื่น ๆ ทึ้งหมวด	0.020h _{sx}	0.015h _{sx}	0.010h _{sx}

¹h_{sx} คือความสูงระหว่างชั้นที่อยู่ใต้พื้นชั้นที่ x

²อาการชั้นเดียวที่มีผนังภายใน ลากกันห้อง ฝ้าเพดาน และผนังภายในนอกที่ถูกออกแบบให้สามารถทนต่อการเคลื่อนตัวสัมพัทธ์ระหว่างชั้นได้มาก จะมีการเคลื่อนตัวสัมพัทธ์ระหว่างชั้นเท่าใดก็ได้ไม่จำกัด แต่ยังคงต้องพิจารณาการเว้นระยะห่างให้เพียงพอที่จะป้องกันการกระแทกกัน โดยต้องให้ระยะห่างมากกว่าผลรวมของการเคลื่อนตัวสูงสุดของโครงสร้างแต่ละชั้น (δ_x) ตามสมการที่ (2.25)

³อาการที่ถูกออกแบบให้ใช้กำแพงก่ออิฐรับแรงเฉือนเป็นชิ้นส่วน โครงสร้างในแนวดิ่งซึ่งยื่นขึ้นมาจากรากฐานรองรับ และถูกก่อสร้างในลักษณะที่มีถ่ายโอนเอนต์คัดและแรงเฉือนระหว่างกำแพงข้างเคียง (แบบ Coupling Beam) น้อยมาก

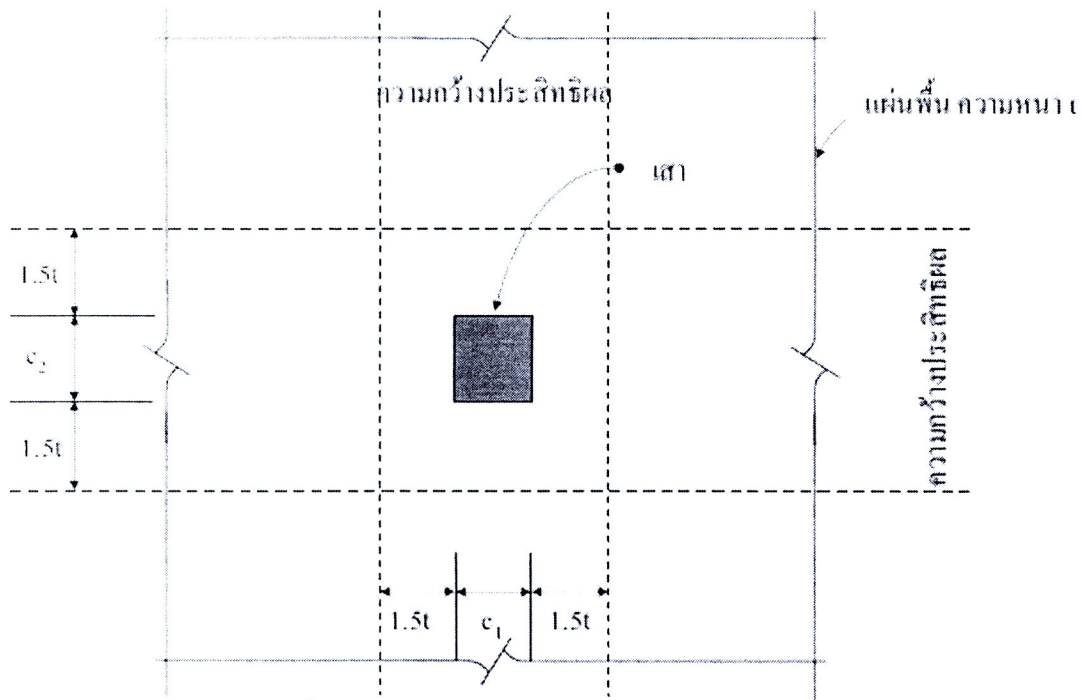
2.2.2 มาตรฐานประกอบการออกแบบอาคารต้านทานการสั่นสะเทือนของแผ่นดินไหว (ปรับปรุงครั้งที่ 1) มยพ. 1302-54

สำหรับมาตรฐาน มยพ. 1302-54 เกี่ยวกับรายละเอียดของการเสริมเหล็กที่ข้อต่อระหว่างเสาและคาน และการต่อเหล็กเสริมในเสา เพื่อควบคุมความหนึบยวของข้อต่อในขณะที่โครงสร้างของ

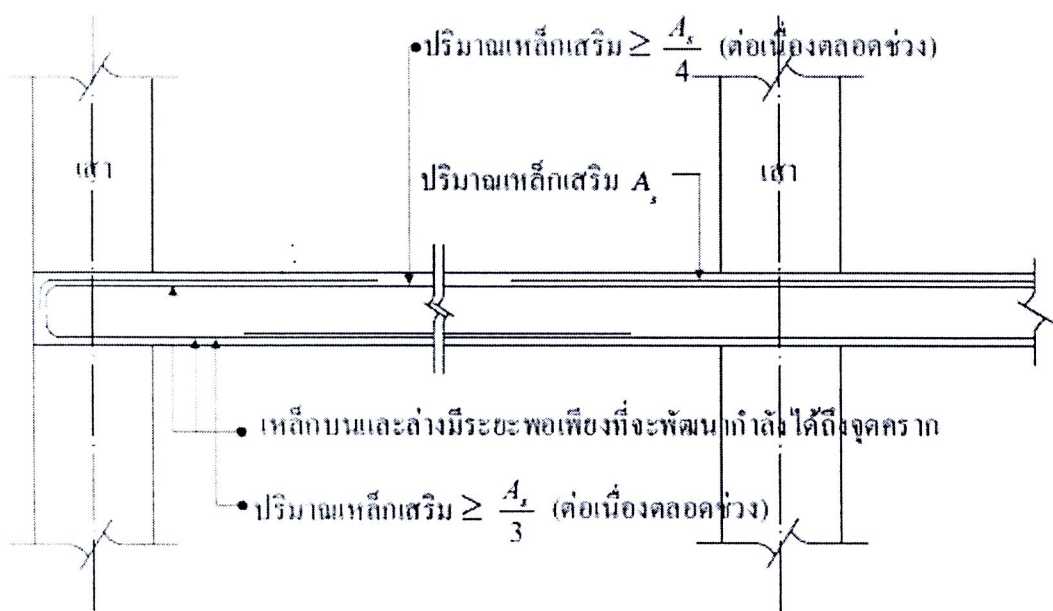
อาการรับแรงแผ่นดินไหว ส่วนที่เกี่ยวข้องกับแผ่นพื้นสองทางค่อนกรีตเสริมเหล็กไร้คาน ซึ่งอาจนำไปประยุกต์กับได้กับแผ่นพื้นสองทางค่อนกรีตอัดแรงไร้คาน ถูกนำมาสรุปไว้ดังนี้

- 1 “ปริมาณเหล็กเสริมที่คำนวณได้สำหรับรับส่วนของโน้ม-men ตัด (ภาพประกอบที่ 2.3-2.5) ในแผ่นพื้นที่ถ่ายให้จุดรองรับ (M_s) จะต้องวางอยู่ในแนบเสาทั้งหมด” ซึ่งสำหรับกรณีเหล็กเสริมข้ออ้อยของโน้ม-men ตัดที่หัวเสา ในแผ่นพื้นค่อนกรีตอัดแรงจะอยู่ที่หัวเสาอยู่แล้ว
- 2 “ปริมาณเหล็กเสริมสำหรับต้านทานสัดส่วนโน้ม-men $\gamma_f M_s$ จะต้องอยู่ภายใต้ความกว้างประสิทธิผล”
- 3 “ปริมาณเหล็กเสริมไม่น้อยกว่าครึ่งหนึ่งของเหล็กเสริมในแนบเสา บริเวณจุดรองรับจะต้องวางอยู่ภายใต้ความกว้างประสิทธิผลของแผ่นพื้น” ซึ่งมีผลต่อการจัดวาง เหล็กเสริมในพื้นแต่ไม่มีผลต่อปริมาณเหล็กเสริม แต่ข้อกำหนดนี้ไม่น่ารวมถึงการจัดตำแหน่งของลวดอัดแรง ซึ่งนิยมจัดในแนบเสาที่เป็นแนวนอน หนึ่ง (Band Direction) และเป็นแบบกระจายสม่ำเสมอในอีกแนวหนึ่ง (Uniform Direction) ซึ่งหากมีผลกระทบกับลวดอัดแรงจริง จะต้องจัดลวดใน Uniform Direction ให้ไปกระชุกในความกว้างประสิทธิผล แทนที่จะเป็นการกระจายแบบสม่ำเสมอ
- 4 “ปริมาณเหล็กเสริมไม่น้อยกว่า 1 ใน 4 ของเหล็กเสริมบนในแนบเสาบริเวณจุดรองรับจะต้องต่อเนื่องตลอดความยาวช่วง และจะต้องมีเหล็กเสริมบนไม่น้อยกว่าหนึ่งในสามของเหล็กเสริมบนในแนบเสาบริเวณจุดรองรับ” อันนี้มีผลต่อปริมาณเหล็กเสริมให้เพิ่มขึ้นโดยตรง
- 5 “เหล็กเสริมล่างในแนบเสาที่มีความต่อเนื่องจะต้องมีปริมาณไม่น้อยกว่าครึ่งหนึ่งของเหล็กเสริมบนในแนบเสาบริเวณจุดรองรับ” อันนี้มีผลต่อปริมาณเหล็กเสริมให้เพิ่มขึ้นโดยตรง
- 6 “ปริมาณเหล็กเสริมไม่น้อยกว่าครึ่งหนึ่งของเหล็กเสริมล่างที่ถักกลางช่วง จะต้องต่อเนื่องและสามารถพัฒนาให้เกิดกำลังครากที่ขอบของจุดรองรับได้” อันนี้มีผลต่อปริมาณเหล็กเสริมให้เพิ่มขึ้นโดยตรง
- 7 “ที่ขอบของแผ่นพื้นที่ไม่ต่อเนื่อง เหล็กเสริมบนและล่างที่จุดรองรับจะต้องสามารถพัฒนากำลังครากที่ขอบของจุดรองรับได้” อันนี้ในการออกแบบที่ไม่พิจารณาถึงผลของแผ่นดินไหว ก็ต้องคำนวณระยะฟังให้เพียงพออยู่แล้ว แต่อาจ

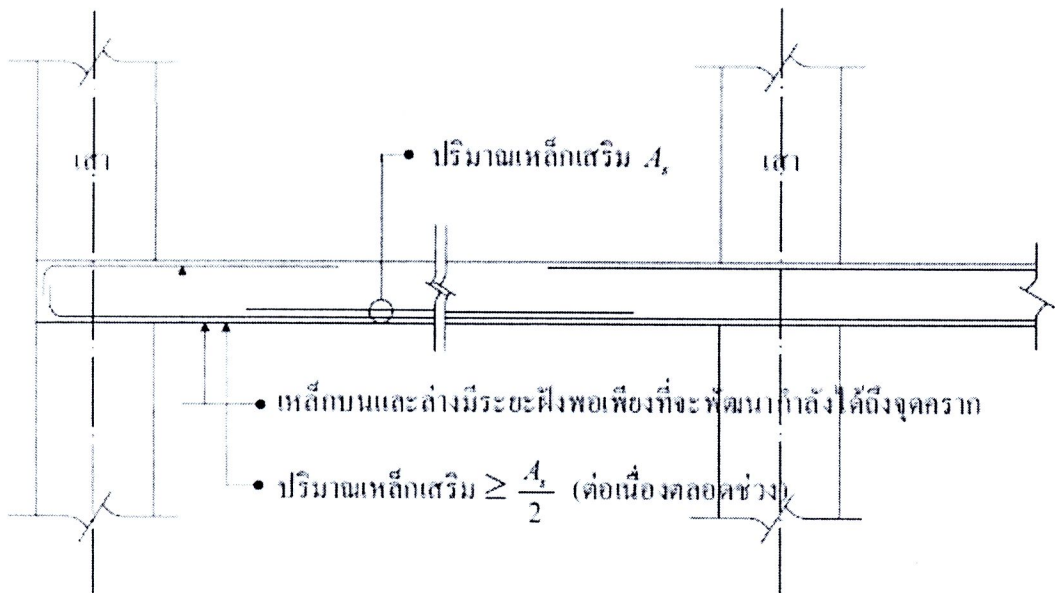
หมายถึงการยกเลิกข้อกำหนดของการปรับระยะฟังที่ต้องการตามด้วยคุณ
 $A_{s,provided} / A_{s,provided}$ ก็ได้



ภาพประกอบที่ 2.3 แสดงความกว้างประสีกชิด



ภาพประกอบที่ 2.4 รายละเอียดการเสริมเหล็กในแนบเสา



ภาพประกอบที่ 2.5 รายละเอียดการเสริมเหล็กในแบบกลาง

2.2.3. มาตรฐานสำหรับออกแบบอาคารเพื่อต้านแรงลม (2550) มยพ. 1311-50

2.2.3.1. จากสูตรการคำนวณหน่วงแรงลมสอดคล้องเที่ยบเท่า

$$P = I_w q C_e C_g C_p \quad (2.26)$$

1.1 หากค่าประกอบความสำคัญ (I_w) ตามตารางที่ 2.1 และ 2.2 แต่ใช้ $I_w = 0.8, 1, 1.15, 1.15$ ของสภาวะจำกัดด้านกำลัง สำหรับประเภท

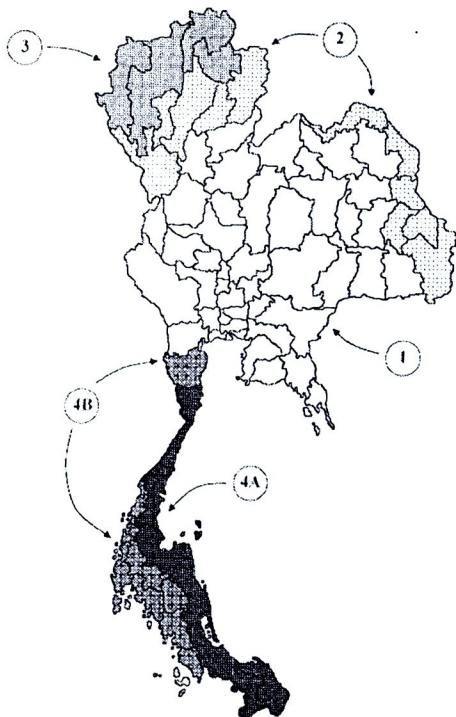
ความสำคัญของอาคารน้อย, ปกติ, มาก และ สูงมากตามลำดับ

1.2 หน่วงแรงลมอ้างอิงเนื่องจากความเร็วลม (q) จากสมการที่ (2.27)
และ (2.28)

$$q = \frac{1}{2} \left(\frac{\rho}{g} \right) \bar{V}^2 \quad (2.27)$$

$$\bar{V} = T_F V_{50} \quad (2.28)$$

เมื่อ T_F และ V_{50} หาได้จากภาพประกอบที่ 2.6



กลุ่มที่ 1 $V_{50} = 25$ เมตร ต่อ วินาที: $T_F = 1.0$

กลุ่มที่ 2 $V_{50} = 27$ เมตร ต่อ วินาที: $T_F = 1.0$

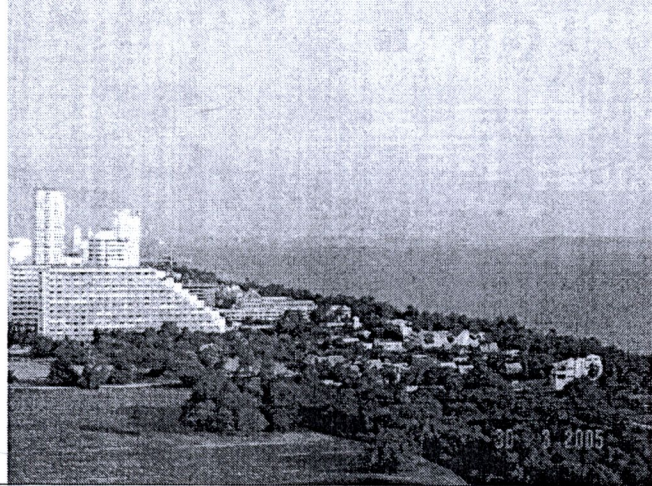
กลุ่มที่ 3 $V_{50} = 29$ เมตร ต่อ วินาที: $T_F = 1.0$

กลุ่มที่ 4A $V_{50} = 25$ เมตร ต่อ วินาที: $T_F = 1.2$

กลุ่มที่ 4B $V_{50} = 25$ เมตร ต่อ วินาที: $T_F = 1.08$

ภาพประกอบที่ 2.6 ค่าตัวประกอบไಡฟูน (T_F) และความเร็วลมที่ 50 ปี (V_{50})

1.3 หาค่าตัวประกอนภูมิประเทศ (C_e) ตามภาพประกอบที่ 2.7

	แบบ A $C_e = \left(\frac{z}{10} \right)^{0.28}$
	แบบ B $C_e = 0.5 \left(\frac{z}{12.7} \right)^{0.5}$
	แบบ C $C_e = 0.4 \left(\frac{z}{30} \right)^{0.72}$

ภาพประกอบที่ 2.7 สูตรสำหรับใช้คำนวณค่าประกอนเนื่องจากสภาพภูมิประเทศ (C_e)

1.4 คำนวณค่าประกอบเนื้องจาก การกระจายของลม (C_g) ตามสมการ
ที่ (2.29) ถึง (2.30)

$$C_g = 1 + g_p \left(\frac{\sigma}{\mu} \right) \quad (2.29)$$

$$g_p = \sqrt{2 \log_e \nu T} + \frac{0.577}{\sqrt{2 \log_e \nu T}} \quad (2.30)$$

$$\nu = n_D \sqrt{\frac{sF}{sF + \beta_D B}} \quad (2.31)$$

$$T = 3600 \text{ วินาที} \quad (2.32)$$

$$\frac{\sigma}{\mu} = \sqrt{\frac{K}{C_{eH}} \left(B + \frac{sF}{\beta_D} \right)} \quad (2.33)$$

$K = 0.08$ สำหรับภูมิประเทศแบบ A

$K = 0.10$ สำหรับภูมิประเทศแบบ B

$K = 0.14$ สำหรับภูมิประเทศแบบ C

C_{eH} = คำนวณตามภาพที่ 3.6 โดยใช้ค่า $z = H$ (ความสูงของยอดอาคาร)

B = Background Turbulence Factor ตามภาพประกอบที่ 2.8

s = ค่าตัวคูณลดเนื้องจากลักษณะของอาคาร ตามภาพประกอบที่ 2.9

F = Gust energy ratio at the natural frequency of the structure ตามภาพประกอบที่ 2.10

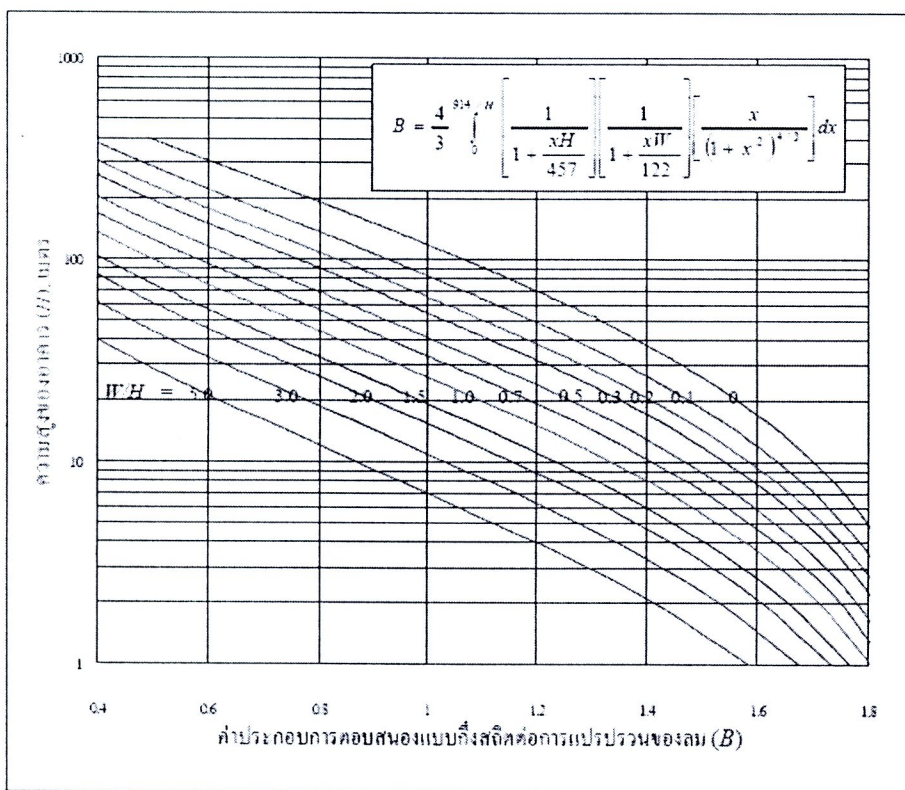
n_D = ความถี่ธรรมชาติของอาคาร $n_D = \frac{44}{H}$

W = ความกว้างประสิทธิผลของอาคาร ในทิศทางตั้งฉากกับทิศทางลม มีหน่วยเป็นเมตร

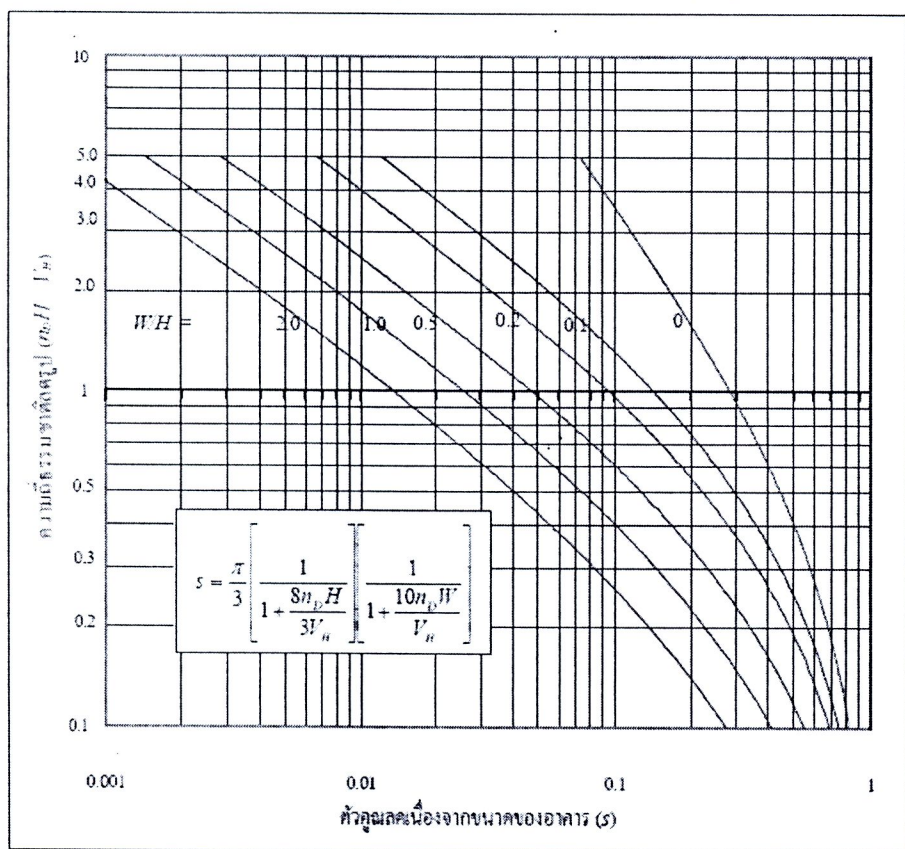
H = ความสูงของอาคาร มีหน่วยเป็นเมตร

V_H = ค่าความเร็วลมเฉลี่ยในช่วงเวลา 1 ชั่วโมง ที่ระดับความสูงของยอดอาคาร มีหน่วย

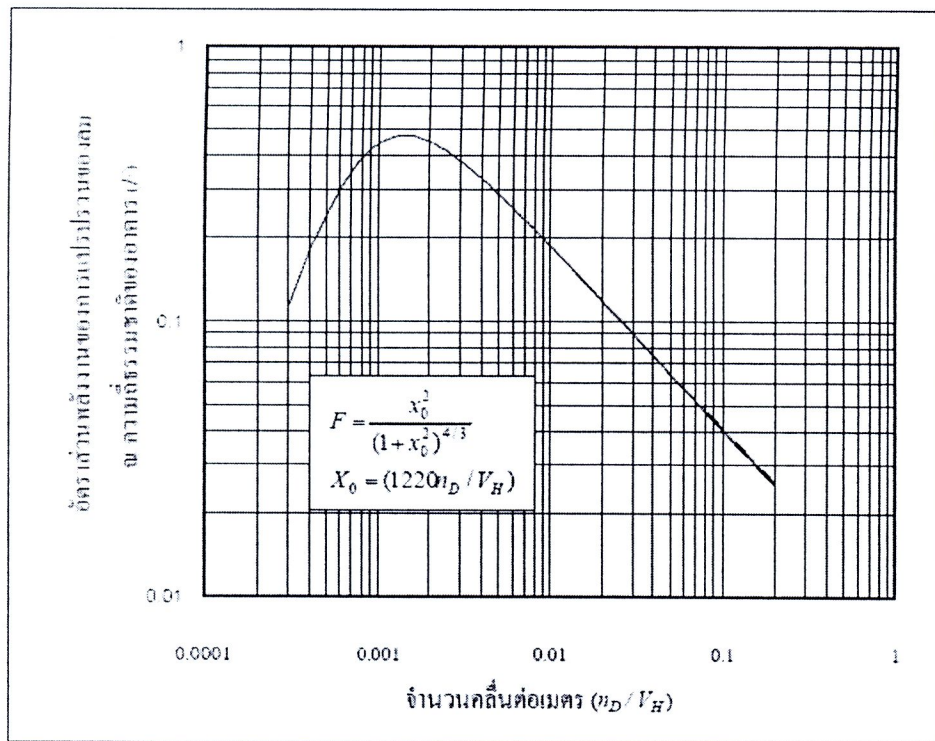
เป็นเมตรต่อวินาที คำนวณได้จากสมการ $V_H = \bar{V} \sqrt{C_{eH}}$



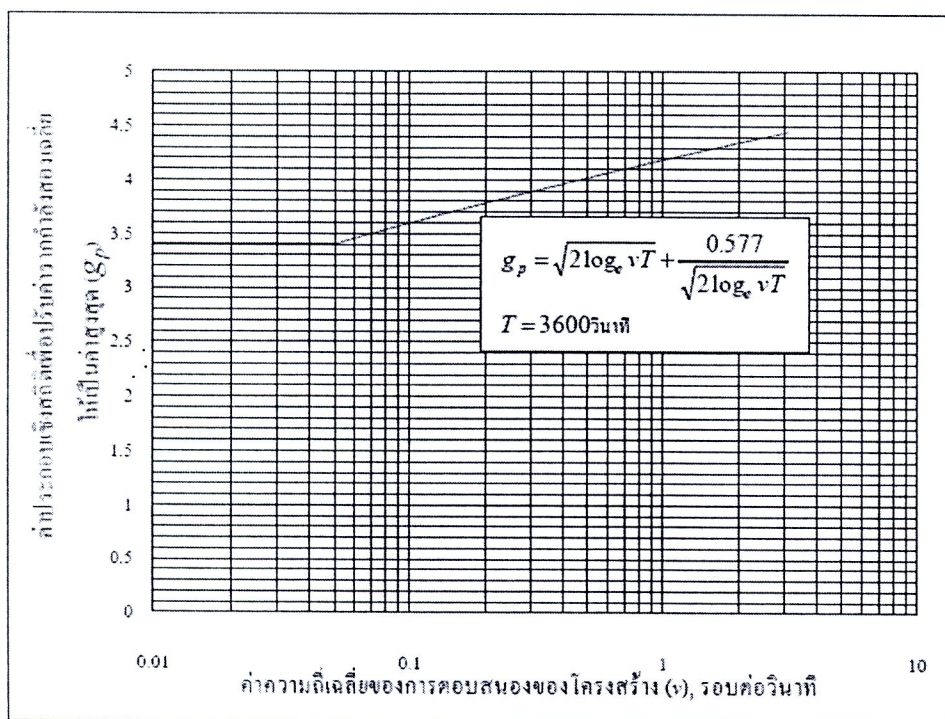
ภาพประกอบที่ 2.8 แผนภูมิเพื่อหาค่า Background Turbulence Factor (B)



ภาพประกอบที่ 2.9 แผนภูมิเพื่อหาค่าตัวคูณลดเนื้องจากลักษณะของอาคาร (s)

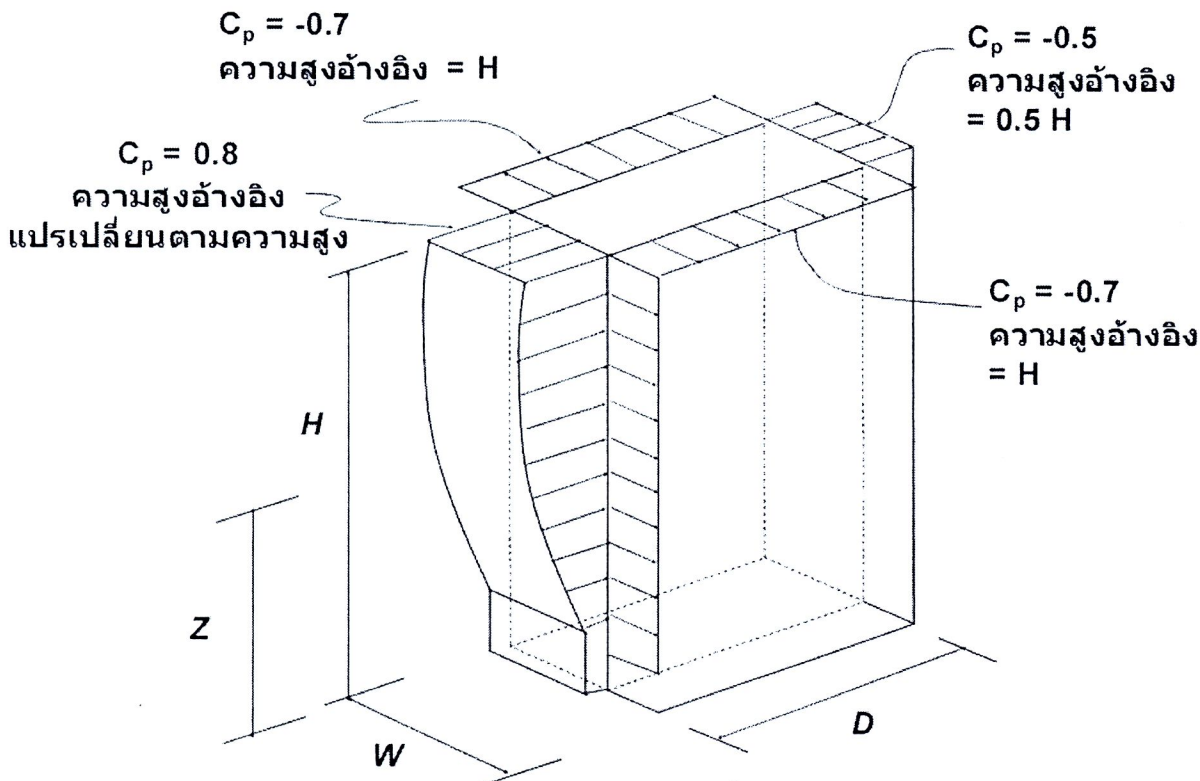


ภาพประกอบที่ 2.10 แผนภูมิเพื่อคำนวณ Gust energy ratio at the natural frequency of the structure (F)



ภาพประกอบที่ 2.11 แผนภูมิเพื่อหาค่าประกอบเชิงสถิติเพื่อปรับค่ารากกำลังสองให้เป็นค่าสูงสุด (g_p)

1.5 ค่าสัมประสิทธิ์ของหน่วยแรงลม (C_p) สำหรับอาคารสูง ใช้ตาม
ภาพประกอบที่ 2.12



ภาพประกอบที่ 2.12 ค่าสัมประสิทธิ์ของหน่วยแรงลม (C_p) สำหรับอาคารที่มีความสูงมากกว่า
ความกว้าง และมีหลังคาอยู่ในแนวราบ

2.3 ผลการวิจัยที่เกี่ยวข้อง

ดำเนินยองสุพันธ์กุล และต่อ กุล กาญจนากลัย (2545) ได้ศึกษาเปรียบเทียบการวิเคราะห์
โครงสร้างระบบคาน-เสา-กำแพงรับแรงเฉือนคอนกรีตเสริมเหล็ก ด้วยวิธีประมาณและวิธีวิเคราะห์
เชิงพลศาสตร์ โครงสร้างที่ศึกษามีจำนวนช่วงเสา 3 ถึง 4 ส่วน สูง 10 และ 15 ชั้น จำนวน 3 อาคาร
โดยพิจารณาหนักน้ำหนักบรรทุกเนื่องจากแรงโน้มถ่วง, แรงลมและแรงแผ่นดินไหว ในเขต กทม.
วิเคราะห์เปรียบเทียบระหว่างวิธีแรงสติตเทียบเท่าตามมาตรฐาน UBC 1994 โซน 1 และวิเคราะห์
เชิงพลศาสตร์ภายใต้พิกัดยึดหยุ่น โดยการวิเคราะห์เชิงประวัติเวลา กำหนดค่าอัตราเร่งสูงสุดเท่ากับ
0.075g ซึ่งการวิเคราะห์เชิงประวัติเวลาดังกล่าวได้ทำการเคลื่อนตัวที่ยอดของอาคาร 7-8 เท่า เสาต้น
ริมชั้นล่างมีแรงตามแนวแกน 1.7-1.8 เท่า แรงเฉือน 4.3-6 เท่า และโมเมนต์ดัด 5-7 เท่า

บุญชา คำวอน, สมชาย ชูชีพสกุล และสุทัศน์ ลีลาทวีวัฒน์ (2550) ได้ศึกษาผลกระบวนการด้านราคาของโครงสร้างอาคารระบบคาน-เสา-กำแพงรับแรงเฉือน ที่ออกแบบตามที่ต้องการ ตามมาตรฐานในประเทศไทย ซึ่งออกแบบตามกฎกระทรวงฉบับที่ 6 (พศ. 2527) เปรียบเทียบกับแรงตามมาตรฐาน วสท. ซึ่ง ได้ศึกษาอาคารสูง 30 ชั้น และพิจารณาถึงผลกระทบที่มีต่อราคาก่อสร้าง จากการศึกษาพบว่าการออกแบบตามมาตรฐาน วสท. มีผลต่อราคาก่อสร้างที่เพิ่มขึ้นในกำแพงรับแรงเฉือน ส่วนพื้น, คาน, เสา และ ฐานราก พนวณนำหนักบรรทุกเนื่องจากแรงโน้มถ่วงเป็นตัวกำหนดการออกแบบ จากการเปรียบเทียบพบว่าการออกแบบตามมาตรฐาน วสท. ทำให้ค่าก่อสร้างเพิ่มขึ้น 0.50% เมื่อเทียบกับตามออกแบบตามกฎกระทรวงฉบับที่ 6 (พศ. 2527)

นัตร สุจินดา (2551) ศึกษาเปรียบเทียบผลการออกแบบพื้น ไร้คานคอนกรีตอัดแรงด้วยวิธีโครงข้อแข็งเสมือนสองมิติและวิธีไฟไนท์อิลิเมนต์แบบแผ่นสามมิติ โดยใช้โปรแกรม Adapt PT เพื่อวิเคราะห์ด้วยวิธีไฟไนท์อิลิเมนต์ ซึ่ง ได้ศึกษาแผ่นพื้น ไร้คานที่มีการจัดวางของเสาต่างๆ กัน ทั้ง ในแนวที่ตั้งฉากอย่างเป็นระเบียบ และไม่ตั้งฉากอย่างเป็นระเบียบ มีกรณ์ศึกษาทั้งหมด 6 กรณี โดยได้เปลี่ยนตำแหน่งของเสาบางต้นให้หลุดออกไปจากแนวของเสาอื่นๆ จากการศึกษาพบว่า วิธีโครงข้อแข็งเสมือนสองมิติจะให้ค่าน้ำหน่วยแรงเฉลี่ยที่มากกว่าในเชิงที่ปลดปล่อย (Conservative) เมื่อเทียบกับผลได้จากวิธีไฟไนท์อิลิเมนต์สามมิติ

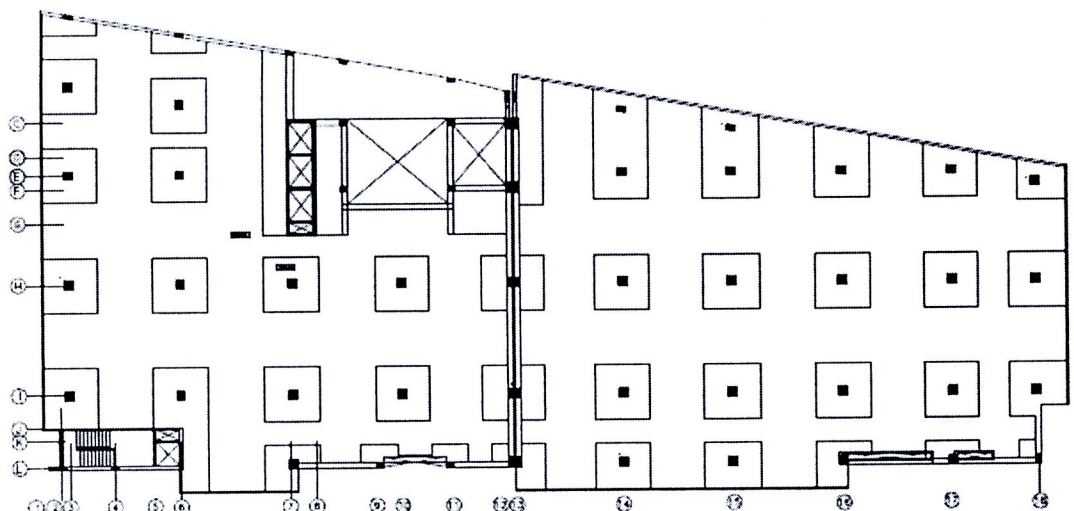
สมชาย คงอาการ และนัตร สุจินดา (2552) ศึกษาเพื่อหาความหนาที่เหมาะสมสำหรับแผ่นพื้น ไร้คานคอนกรีตอัดแรงด้วยวิธีไฟไนท์อิลิเมนต์แบบแผ่นสามมิติ โดยพิจารณาเฉพาะผลของแรงโน้มถ่วงเพียงอย่างเดียว อาศัยข้อมูลราคาต่อหน่วยของวัสดุก่อสร้างและค่าแรงในประเทศไทย เพื่อนำมาทดลองออกแบบแผ่นพื้น ไร้คานคอนกรีตอัดแรงที่ความหนา, กำลังอัดประดับของคอนกรีต และนำหนักบรรทุกจรรยาบรรณ กัน โดยใช้โปรแกรม RAM Concept มีกรณ์ศึกษาสำหรับการจัดเรียงตำแหน่งของเสาในพื้นทั้งหมด 6 กรณี จากนั้นได้นำไปหาสมการอย่างง่ายเพื่อใช้คำนวณหนาที่เหมาะสม ที่ทำให้ราคาก่อสร้างรวมต่ำสุด เพื่อช่วยให้วิศวกรและผู้ที่สนใจสามารถนำไปประมวลราคา และเป็นแนวทางในการออกแบบแผ่นพื้น ไร้คานคอนกรีตอัดแรงเบื้องต้น

นัตร สุจินดา (2553) ได้เปรียบเทียบค่าโน้ม-menต์ทุกด้านในแผ่นพื้น ไร้คานคอนกรีตอัดแรงที่ วิเคราะห์ด้วยวิธีไฟไนท์อิลิเมนต์และวิธีไฟไนท์อิลิเมนต์แบบแผ่นสามมิติ โดยใช้โปรแกรม RAM Concept เพื่อใช้วิเคราะห์ทั้งสองวิธี จากการศึกษานี้พบว่า ในกรณีที่การจัดเรียงของเสาไม่อยู่ในแนวที่ตั้งฉากกัน หากเป็นไปได้ควรใช้วิธีไฟไนท์อิลิเมนต์สามมิติ มากกว่าวิธีโครงข้อแข็งสองมิติ เนื่องจากจะให้ค่าตอบของโน้ม-menต์ทุกด้านในแผ่นพื้น ไร้คานคอนกรีตอัดแรงเบื้องต้น ซึ่งจะต้องเป็นการวิเคราะห์แบบสามมิติเท่านั้น จึงจะได้ค่าตอบ แต่สำหรับกรณีการจัดเรียง

ของเสาอยู่ในแนวที่ตั้งฉากกัน วิธีโครงข้อแข็งสองมิติจะให้คำตอบใกล้เคียงกับวิธีไฟไนท์เอลิเมนต์สามมิติ

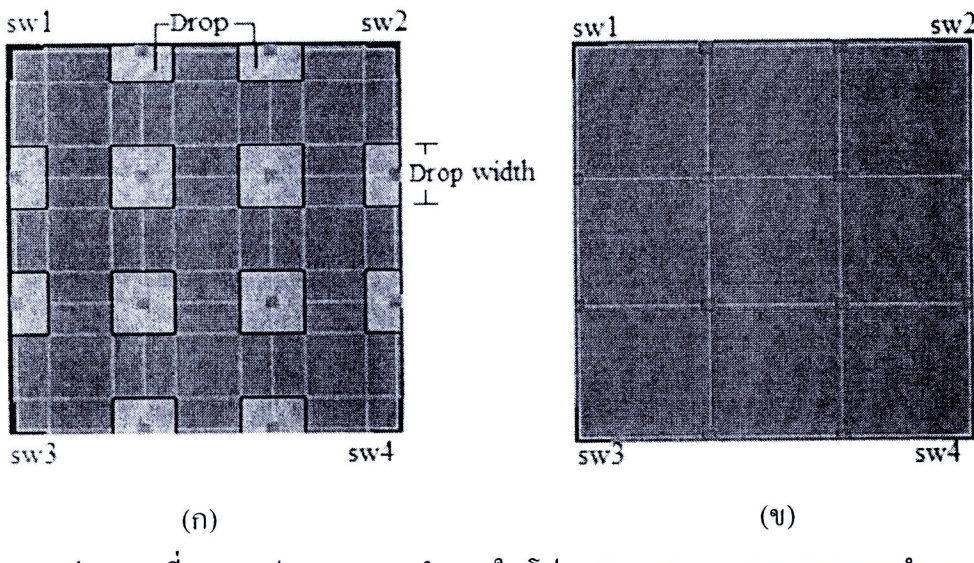
ศุภกฤณ์ หมื่นคิด และ สุวัฒน์ ถิรเศรษฐ์ (2553) ได้ศึกษาปริมาณเหล็กเสริมและลวดอัดแรงสำหรับการออกแบบแผ่นพื้น ไว้คานคอนกรีตอัดแรงภายหลัง เพื่อต้านแรงคอมและแรงแปรผันดินไหวสำหรับประเทศไทย โดยได้เปรียบเทียบปริมาณเหล็กเสริมที่เพิ่มขึ้นเนื่องจากผลของการแรงคอมและแรงแปรผันดินไหวซึ่งออกแบบตามมาตรฐาน มยพ. 1301-50 และ มยพ. 1311-50 กับ มาตรฐานของ ACI, UBC และ วสท. โดยได้ศึกษาอาการจำนวน 8 หลัง สูง 6-27 ชั้น รวม 160 กรณีศึกษา พบร่วมจากการออกแบบตามมาตรฐานต่าง ๆ ดังกล่าว เพิ่มปริมาณเหล็กเส้นประมาณ 13-18% และ ไม่เพิ่มปริมาณลวดอัดแรง ซึ่งจะทำให้ค่าก่อสร้างรวมเพิ่มขึ้น 5-6% อย่างไรก็ตาม การศึกษานี้ใช้วิธีเคราะห์ผลของแรงแปรผันดินไหวด้วยวิธีแรงสติ๊กเทียบท่า

Bharath G. N. และคณะ (2010) ได้ศึกษาเปรียบเทียบอาคาร 2 แห่งในประเทศไทยเดียวกัน (1) Mass-3 ซึ่งเป็นอาคารสำนักงาน ยาว 90 m กว้าง 30 m สูง 4 ชั้น และมีจอดรถได้ดิน 1 ชั้น ดังภาพประกอบที่ 2.13 และ (2) RPS ซึ่งเป็นอาคารเพื่อการพาณิชย์ ยาว 50 m กว้าง 25 m สูง 4 ชั้น และมีจอดรถได้ดิน 1 ชั้น โดยได้ออกแบบตามมาตรฐาน IS 456-2000, IS1893 Part 1 และ IS 875 Part 3 ของประเทศไทยเดียวกัน ซึ่งอาคารดังกล่าวอยู่ในโซนแปรผันดินไหวเบาบาง ดังนั้น มาตรฐานจึงอนุญาตให้ออกแบบแผ่นพื้นเป็นส่วนหนึ่งของระบบรับแรงด้านข้าง โดยไม่ต้องแยกระบบรับแรงด้านข้างออกจากระบบพื้นอย่างลึกลับ เชิงผู้แต่งได้ให้ข้อมูลเปรียบเทียบระหว่างแผ่นพื้น ไว้คานแบบคอนกรีตอัดแรงกับระบบคอนกรีตเสริมเหล็กกว่า ข้อได้เปรียบของคอนกรีตอัดแรงคือการได้หน้าตัดแบบไม่แตก (Non-cracked section) ซึ่งจะทำให้ระบบโครงสร้างตัวของแผ่นลดลงมากเมื่อเทียบกับหน้าตัดแบบแตก (Cracked section) ส่งผลทำให้สามารถลดความหนาของแผ่นพื้นลงโดยที่ยังสามารถรักษาระยะการโถกไม่ให้เกินกว่าที่มาตรฐานกำหนดได้ แต่จากการศึกษาโครงสร้างของทั้ง 2 อาคารที่กล่าวมาพบว่า หากใช้แผ่นพื้น ไว้คานคอนกรีตอัดแรงก็ยังได้หน้าตัดแบบแตกอยู่ดี ดังนั้น จึงต้องกำหนดความหนาแผ่นพื้นคอนกรีตอัดแรงให้เท่ากับแผ่นพื้นคอนกรีตเสริมเหล็ก และเนื่องจากค่าใช้จ่ายเพิ่มเติมของระบบคอนกรีตอัดแรง จึงทำให้ราคาค่าก่อสร้างของระบบคอนกรีตเสริมเหล็กต่ำกว่าระบบคอนกรีตอัดแรงอยู่ 20%



ภาพประกอบที่ 2.13 แปลนของอาคาร Mass-3

Tilva, V. K. และคณะ (2011) ได้ศึกษาผลผลกระทบทางด้านราคาของแผ่นพื้น ไว้คานของอาคาร 4 ชั้นในประเทศไทยโดยใช้โปรแกรม ETAB วิเคราะห์ตามมาตรฐาน IS 1893 ของประเทศไทยโดยได้เปรียบเทียบแผ่นพื้นแบบที่มีและไม่มีเปลี่ยนหัวเสา น้ำหนักบรรทุกตัวที่รวมน้ำหนักโครงสร้างแล้ว 1 kN/m^2 (102 kg/m^2) และน้ำหนักบรรทุกจร 4 kN/m^2 (408 kg/m^2) Importance Factor (I)=1, Response Reduction Factor (R)=5 โดยมีข้อกำหนดคือ (1) ระยะเสา $6 \text{ m} \times 6 \text{ m}$ จำนวนสแปน 3×3 มีกำแพงรับแรงเฉือนที่มุมของอาคาร ดังแสดงในภาพประกอบที่ 2.14 (2) วิเคราะห์ผลของแรงกระทำเนื่องจากแรงโน้มถ่วงและแรงกระทำด้านข้างโดยใช้โปรแกรม ETAB จากนั้นนำข้อมูลออกไปให้โปรแกรม SAFE (3) คำนวณผลของแรงเฉือนเจาะทะลุวิเคราะห์ด้วยโปรแกรม SAFE (4) กำหนดขนาดของเสาและกำแพง โดยให้กำแพงรับแรงเฉือน 75% ของแรงเฉือนที่เกิดจากแรงแผ่นดินไหว ผลการศึกษาพบว่าแผ่นพื้นหนา 15 cm ที่มีเปลี่ยนหัวเสาหนาเพิ่มอีก 5 cm มีราคาต่ำกว่าแผ่นพื้นหนา 22.5 cm ที่ไม่มีเปลี่ยนหัวเสาร้อย 29%



ภาพประกอบที่ 2.14 แปลนของแบบจำลองในโปรแกรม ETAB แสดงระยะเสา จำนวนชั่ง และตำแหน่งของกำแพงรับแรงเฉือน

- (ก) แบบมีเป็นหัวเสา (Drop panel)
- (ข) แบบไม่มีเป็นหัวเสา (No drop Panel)

2.4 สรุป

จากการศึกษาที่ผ่านมาทั้งหมดเท่าที่ค้นคว้ามาได้ เป็นการศึกษาถึงการวิเคราะห์และออกแบบแผ่นพื้นไร้คานคอนกรีตอัดแรงที่พิจารณาผลของน้ำหนักบรรทุกเนื่องจากแรงโน้มถ่วง, แรงด้านข้างเนื่องจากแรงลมตามมาตรฐานเก่า และแรงแผ่นดินไหวด้วยวิธีแรงสติตเทียบท่าตามมาตรฐาน มยพ. 1302-52 หรือไม่ก็เป็นการออกแบบด้วยวิธีเชิงพลศาสตร์ตามมาตรฐานของต่างประเทศ ผู้วิจัยยังไม่พบลักษณะงานวิจัยใดที่ศึกษาการวิเคราะห์และออกแบบแผ่นพื้นไร้คานคอนกรีต อัดแรง-เสา-กำแพงรับแรงเฉือน โดยที่พิจารณาถึงแรงด้านข้างทั้งเนื่องจากแรงลมตามมาตรฐาน มยพ. 1311-50 และแผ่นดินไหวด้วยวิธีเชิงพลศาสตร์ โดยใช้กราฟสเปคลรัมการตอบสนองจากมาตรฐาน มยพ. 1302-52 แต่อย่างใด หากมีการศึกษาถึงผลกระทบของทั้งแรงลมและแรงแผ่นดินไหวด้วยวิธีเชิงพลศาสตร์ ตามมาตรฐานดังกล่าว ก็จะเป็นประโยชน์อย่างยิ่งต่อวงการวิศวกรรมโครงสร้าง เนื่องจากมาตรฐานทั้งสองนี้เป็นมาตรฐานล่าสุดที่จะต้องใช้ในการออกแบบอาคารในปัจจุบัน